

ΥΔΡΑΥΛΙΚΗ ΑΝΟΙΚΤΩΝ ΑΓΩΓΩΝ

1

I. ΕΙΣΑΓΩΓΗ

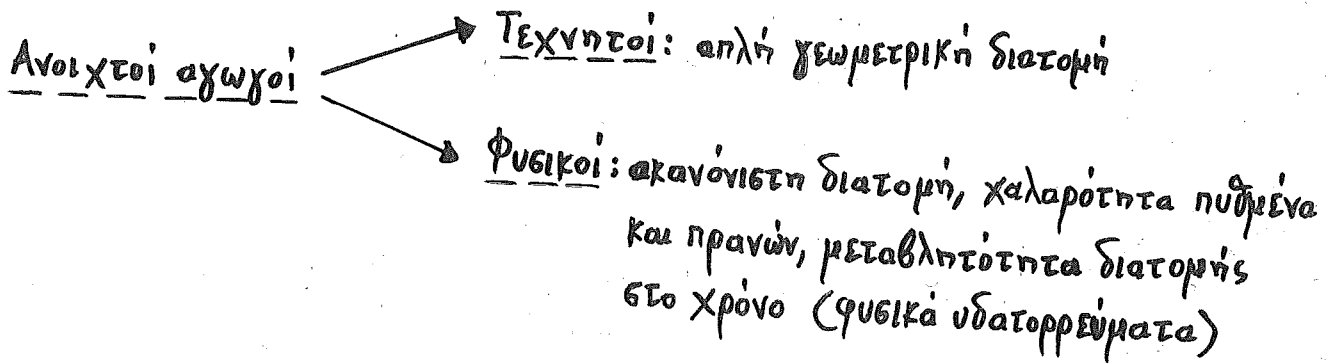
Δύο βασικές κατηγορίες αγωγών

Ανοιχτοί αγωγοί:

- Το νερό ρέει με ελεύθερη επιφάνεια (ατμοσφαιρική πίεση)
- Η κίνηση του νερού οφείλεται στη βαρύτητα

Κλειστοί αγωγοί:

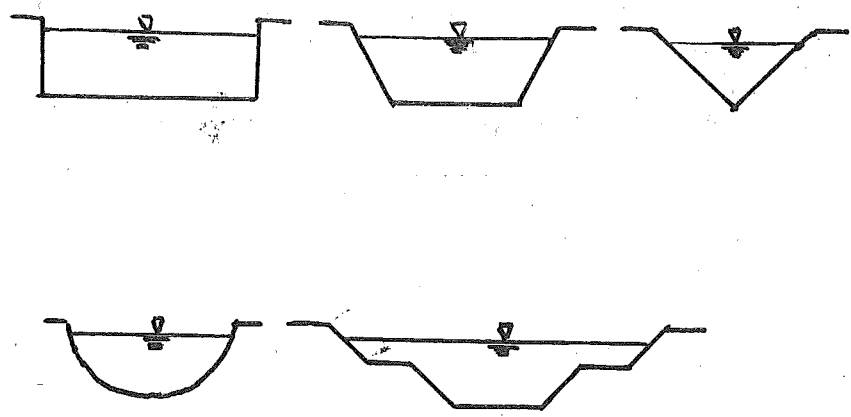
- Δεν υπάρχει κάποια επιφάνεια σταθερής πίεσης
- Η κίνηση του νερού οφείλεται σε διαφορές πίεσης



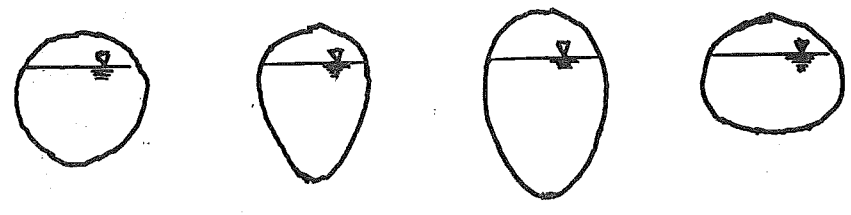
Μελέτη τεχνητών ανοικτών αγωγών: Βέλτιστος σχεδιασμός από τεχνική και οικονομική άποψη

Μελέτη φυσικών υδατορρευμάτων: Σχεδιασμός επεμβάσεων ώστε να προλαμβάνονται φυσικές καταστροφές από τις πλημμύρες και τη διάβρωση-απόθεση θερτών υλών

Αγωγοί ανοιχτής διατομής



Αγωγοί κλειστής διατομής



Συντελεστής διόρθωσης κινητικής ενέργειας (α)

- Η χρήση της μέσης ταχύτητας καταλήγει στον υπολογισμό κινητικής ενέργειας χαμηλότερης από την πραγματική.

Γι' αυτό, για τον καθορισμό της πραγματικής κινητικής ενέργειας, ιδίως σε αγωγούς ακανόνιστης διατομής, πρέπει να εφαρμοστεί ο συντελεστής διόρθωσης α.

- $\alpha \frac{v^2}{2g}$: πραγματικό ύψος κινητικής ενέργειας
(Κινητική ενέργεια ανά μονάδα βάρους του ρευστού)

v: μέση ταχύτητα σε μια διατομή

α: συντελεστής Coriolis

- Κινητική ενέργεια ανά μονάδα χρόνου (για μια στοιχειώδη επιφάνεια dA)

$$dE_k = \frac{1}{2} m v^2 \frac{1}{t} = \frac{1}{2} \rho V v^2 \frac{1}{t} = \frac{1}{2} \rho \theta v^2 = \frac{1}{2} \rho v dA v^2 = \frac{1}{2} \rho v^3 dA$$

$$dE_k = \frac{1}{2} \rho v^3 dA \Rightarrow E_k = \frac{1}{2} \rho \int_A v^3 dA$$

$$E_k = \alpha \frac{1}{2} \rho v^3 A$$

v: μέση ταχύτητα ποίς V: όγκος νερού

$$\frac{1}{2} \rho \int_A v^3 dA = \alpha \frac{1}{2} \rho v^3 A \Rightarrow \alpha = \frac{\int_A v^3 dA}{v^3 A} = \frac{\sum v^3 \Delta A}{v^3 A}$$

- Ανομοιομορφία στην οριζόντια κατανομή της ταχύτητας

- Ανομοιομορφία στην κατακόρυφη κατανομή της ταχύτητας

Συντελεστής διόρθωσης ορμής (β)

- Αναγκαία διόρθωση λόγω ανομοιόμορφης κατανομής της ταχύτητας σε μια διατομή
- Συντελεστής Boussinesq
- Ποσότητα κίνησης (ορμή) ανά μονάδα χρόνου μέσω μιας στοιχειώδους διατομής dA:

$$dJ = \rho u^2 dA$$

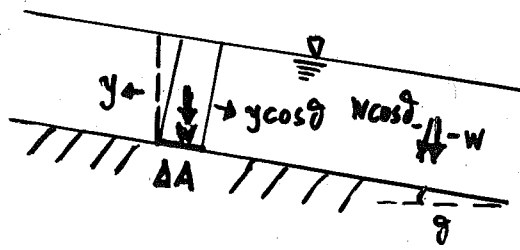
- Για ολόκληρη τη διατομή: $J = \rho \int_A u^2 dA$
- Επίσης $J = \beta \rho v^2 A$ (v: μέση ταχύτητα)

$$\rho \int_A u^2 dA = \beta \rho v^2 A \Rightarrow \beta = \frac{\int_A u^2 dA}{v^2 A}$$

Ενδεικτικές τιμές των συντελεστών α και β

Είδος διατομής	α	β
Γεωμετρικού σχήματος	1.10-1.20	1.03-1.07
Φυσική	1.15-1.50	1.05-1.17
Ακανόνιστη	1.50-2.00	1.17-1.33

Παράλληλη ροή σε κεκλιμένο αγωγό



w: κατακόρυφη δύναμη βάρους

- Όγκος νερού: $\Delta A \cdot y \cos \theta$
- Βάρος νερού: $w = \rho g \cdot \Delta A \cdot y \cos \theta$
- Συνιστώσα του βάρους κάθετη προς τον πυθμένα:

$$w \cos \theta = (\rho g \cdot \Delta A \cdot y \cos \theta) \cos \theta$$

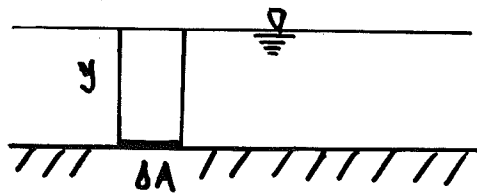
- Πίεση στον πυθμένα (επιφάνεια ΔA) λόγω του υπερκείμενου βάρους νερού:

$$p = \frac{(\rho g \cdot \Delta A \cdot y \cos \theta) \cos \theta}{\Delta A} = \rho g y \cos^2 \theta$$

$$p = \rho g y \cos^2 \theta$$

- Όταν θ μικρή $\Rightarrow \cos \theta \approx 1.0 \Rightarrow$

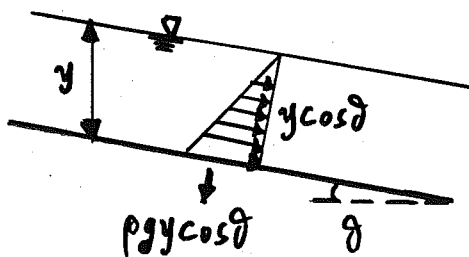
$$p = \rho g y$$



- Όγκος νερού: $\Delta A \cdot y$
- Βάρος νερού: $\rho g \cdot \Delta A \cdot y$
- Πίεση στον πυθμένα (επιφάνεια ΔA) λόγω του υπερκείμενου βάρους νερού:

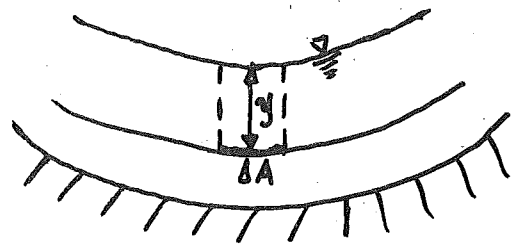
$$p = \frac{\rho g \cdot \Delta A \cdot y}{\Delta A} = \rho g y$$

$$p = \rho g y$$



Καμπυλόγραμμη ροή

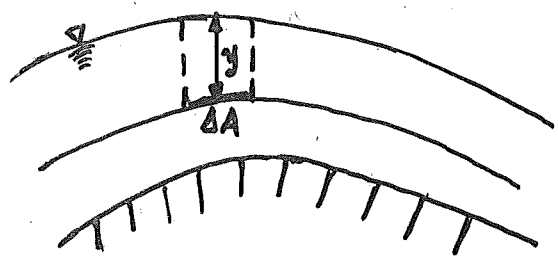
Κοίλος αγωγός



$$p = \rho g y \left(1 + \frac{v^2}{r g} \right)$$

v: μέση ταχύτητα ροής
 r: ακτίνα καμπυλότητας

Κυρτός αγωγός



$$p = \rho g y \left(1 - \frac{v^2}{r g} \right)$$

2. ΓΕΝΙΚΕΣ ΕΞΙΣΩΣΕΙΣ ΡΟΗΣ ΣΕ ΑΝΟΙΚΤΟΥΣ ΑΓΩΓΟΥΣ

Μονοδιάστατη αεσταθής ροή σ' ένα φυσικό αγωγό

Παραδοχές

α) Νερό ασυμπιέστο

β) Μέση ταχύτητα ροής: Q/A

γ) Κλίση πυθμένα και καμπυλότητα ελεύθερης επιφάνειας:

αρκετά μικρές \Rightarrow

σε κάθε διατομή: υδροστατική κατανομή των πιέσεων

δ) Απώλειες ενέργειας κατά την κίνηση του νερού:

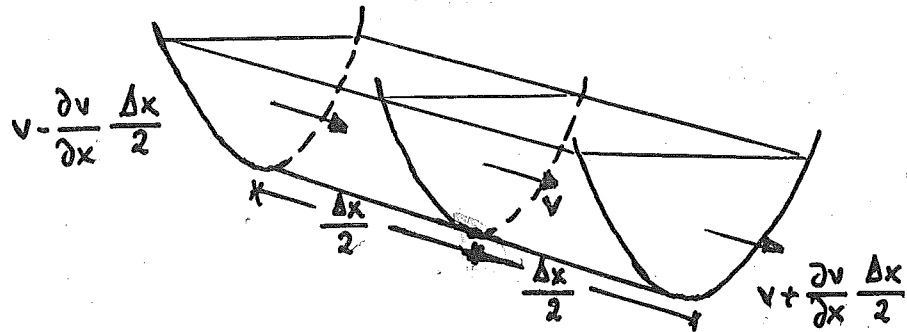
λόγω τριβών στον πυθμένα και στα τοιχώματα του αγωγού

- Υπολογίζονται από ημιεμπειρικές εκφράσεις για ομοιόμορφες
βυθιές ροής

ε) Δεν υπάρχουν απώλειες εξάτμισης

ζ) Καμία ασυνέχεια ή απότομη μεταβολή της ροής στο χρόνο
ή στο χώρο

Εξίσωση συνέχειας



- Εισερχόμενη μάζα νερού ανά μονάδα χρόνου:

$$\rho \left(v - \frac{\partial v}{\partial x} \frac{\Delta x}{2} \right) \left(A - \frac{\partial A}{\partial x} \frac{\Delta x}{2} \right)$$

$$\left(\rho v A = \rho Q = \rho \frac{V}{t} = \frac{m}{t} \right)$$

- Εξερχόμενη μάζα νερού ανά μονάδα χρόνου:

$$\rho \left(v + \frac{\partial v}{\partial x} \frac{\Delta x}{2} \right) \left(A + \frac{\partial A}{\partial x} \frac{\Delta x}{2} \right)$$

- Πλευρική εισροή: $\rho q_r \Delta x$

$$\left(\rho \frac{L^2}{T} L = \rho \frac{L^3}{T} = \rho Q \right)$$

q_r : πλευρική εισροή ανά μονάδα μήκους του αγωγού

- Αποθήκευση στον ίδιο χρόνο:

$$\rho \frac{\partial A}{\partial t} \Delta x \quad \left(\rho \frac{L^3}{T} = \rho Q \right)$$

- Ισοζύγιο μάζας:

$$\rho \left(v - \frac{\partial v}{\partial x} \frac{\Delta x}{2} \right) \left(A - \frac{\partial A}{\partial x} \frac{\Delta x}{2} \right) - \rho \left(v + \frac{\partial v}{\partial x} \frac{\Delta x}{2} \right) \left(A + \frac{\partial A}{\partial x} \frac{\Delta x}{2} \right) + \rho q_r \Delta x =$$

$$= \rho \frac{\partial A}{\partial t} \Delta x$$

$$\frac{\partial A}{\partial t} + A \frac{\partial v}{\partial x} + v \frac{\partial A}{\partial x} = q_r$$

$$\frac{\partial A}{\partial t} + \frac{\partial Q}{\partial x} = q_r$$

Εξίσωση ορμής

Αρχή διατήρησης της ορμής: Η μεταβολή της ορμής ανά μονάδα χρόνου σε μια στοιχειώδη μάζα ισούται με τη συνισταμένη των εξωτερικών δυνάμεων που ενεργούν στη μάζα αυτή

$$\frac{d(mu)_x}{dt} = \sum \vec{F}_x$$

- Ανά μονάδα χρόνου εισερχόμενη ποσότητα κίνησης:

$$\rho \frac{Q^2}{A} - \frac{\partial(\rho Q^2/A)}{\partial x} \frac{\Delta x}{2} \Rightarrow \text{πρόσημο } \ominus$$

$$(\rho Q u = \rho Q \frac{Q}{A} = \frac{\rho Q^2}{A})$$

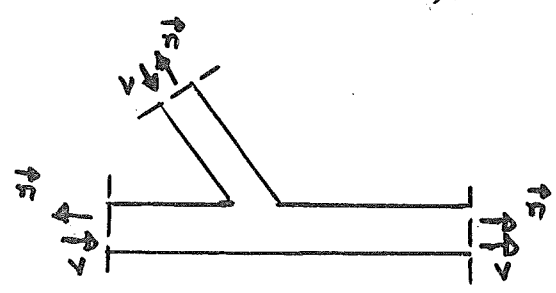
- Ανά μονάδα χρόνου εξερχόμενη ποσότητα κίνησης:

$$\rho \frac{Q^2}{A} + \frac{\partial(\rho Q^2/A)}{\partial x} \frac{\Delta x}{2} \Rightarrow \text{πρόσημο } \oplus$$

- Ποσότητα κίνησης ανά μονάδα χρόνου της πλευρικά εισερχόμενης μάζας:

$$\rho q_{\ell} \Delta x v_{\ell} \Rightarrow \text{πρόσημο } \ominus$$

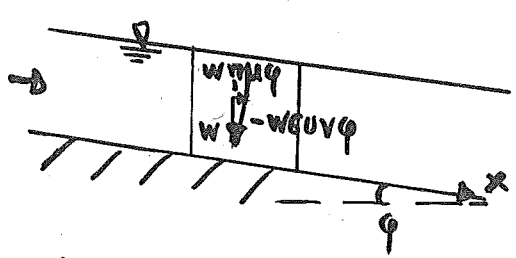
v_{ℓ} : συνιστώσα της ταχύτητας εισροής κατά τη διεύθυνση της ροής



- Μεταβολή ως προς το χρόνο της ποσότητας κίνησης της αρχικής μάζας (m = ρV = ρA Δx)

∂ / ∂t (ρ · A · Δx · v) = ∂ / ∂t (ρQ Δx) ⇒ πρόσημο ⊕ (μεβαία διατομή σχήματος)

Σ F_x = F_1 (βάρους) + F_2 (πιέσεων) + F_3 (τριβών)



w = ρg · A · Δx

F_1 = ρg · A · Δx · ημφ ≈ ρg · A · Δx · εφφ = ρg · A · Δx · S_0

F_3 = f (ρg · A · Δx · συνφ) ≈ f (ρg · A · Δx) = S_f (ρg · A · Δx) ⇒ πρόσημο ⊖

f: συντελεστής τριβής

F_2 = ∂ / ∂x (ρg · A · ȳ) Δx ⇒ πρόσημο ⊖ ⇒ αυξανόμενου του x μειώνεται η (ρg · A · ȳ)

(ρg · A · ȳ): συνολική υδροστατική δύναμη σε τυχούδα διατομή

ȳ: απόσταση κέντρου βάρους της διατομής από την ελεύθερη επιφάνεια

Εξίσωση ορμής

$$\begin{aligned}
& -\rho \frac{Q^2}{A} + \frac{\partial(\rho Q^2/A)}{\partial x} \frac{\Delta x}{2} + \rho \frac{Q^2}{A} + \frac{\partial(\rho Q^2/A)}{\partial x} \frac{\Delta x}{2} - \rho g \Delta x \cdot v_L + \frac{\partial}{\partial t} (\rho Q \Delta x) = \\
& = \rho g \cdot A \cdot \Delta x \cdot S_0 - (\rho g \cdot A \cdot \Delta x) S_f - \frac{\partial}{\partial x} (\rho g \cdot A \cdot \bar{y}) \Delta x
\end{aligned}$$

- Διαφορουμε και τα δυο μελη της εξισωσης με $\rho \Delta x$

$$\frac{\partial Q}{\partial t} + \frac{\partial(Q^2/A)}{\partial x} - g_L v_L = gA(S_0 - S_f) - \frac{\partial}{\partial x} (gA\bar{y})$$

$$\frac{\partial Q}{\partial t} + \frac{\partial}{\partial x} \left(\frac{Q^2}{A} + gA\bar{y} \right) = gA(S_0 - S_f) + g_L v_L$$

Άσταθής ροή σε αχνοό μεταβλητής διατομής

$$\frac{\partial A}{\partial t} + \frac{\partial Q}{\partial x} = q_L$$

Εξίσωση συνέχειας

$$\frac{\partial Q}{\partial t} + \frac{\partial}{\partial x} \left(\frac{Q^2}{A} + gA\bar{y} \right) = gA(S_0 - S_f) + q_L v_L$$

Εξίσωση ορμής

- Συντηρητική μορφή εξισώσεων ή μορφή συνεπρηκτικού νόμου

- Μητρική μορφή εξισώσεων: $\frac{\partial W}{\partial t} + \frac{\partial F}{\partial x} = D$

$$W = \begin{vmatrix} A \\ Q \end{vmatrix}$$

$$F = \begin{vmatrix} Q \\ \frac{Q^2}{A} + gA\bar{y} \end{vmatrix}$$

$$D = \begin{vmatrix} q_L \\ gA(S_0 - S_f) + q_L v_L \end{vmatrix}$$

- Σύστημα διαφορικών εξισώσεων υπερβολικού τύπου

Μετασχηματισμός των εξισώσεων συνέχειας και ορμής

Εξίσωση συνέχειας

$$\frac{\partial A}{\partial t} + \frac{\partial \theta}{\partial x} = q_L \quad (\text{συντηρητική μορφή})$$

$$\frac{\partial A}{\partial t} = \frac{\partial A}{\partial y} \frac{\partial y}{\partial t} = B \frac{\partial y}{\partial t} \quad y: \text{βάθος ροής} \quad B: \text{επιφανειακό πλάτος}$$

$$\begin{aligned} \frac{\partial \theta}{\partial x} &= \frac{\partial(vA)}{\partial x} = v \frac{\partial A}{\partial x} + A \frac{\partial v}{\partial x} = v \left[\frac{\partial A}{\partial y} \frac{\partial y}{\partial x} + \left(\frac{\partial A}{\partial x}\right)_y \right] + A \frac{\partial v}{\partial x} = \\ &= vB \frac{\partial y}{\partial x} + v \left(\frac{\partial A}{\partial x}\right)_y + A \frac{\partial v}{\partial x} \end{aligned}$$

$$B \frac{\partial y}{\partial t} + A \frac{\partial v}{\partial x} + vB \frac{\partial y}{\partial x} + v \left(\frac{\partial A}{\partial x}\right)_y = q_L$$

St. Venant

$$\frac{\partial y}{\partial t} + y \frac{\partial v}{\partial x} + v \frac{\partial y}{\partial x} = 0$$

χωρίς πλευρική εισροή ($q_L = 0$)

Εξίσωση ορμής

$$\frac{\partial \theta}{\partial t} + \frac{\partial}{\partial x} \left(\frac{Q^2}{A} + gA\bar{y} \right) = gA(S_0 - S_f) + q_L v_L \quad (\text{συντηρητική μορφή})$$

$$\frac{\partial}{\partial x} (gA\bar{y}) = gA \frac{\partial y}{\partial x}$$

$$\frac{\partial \theta}{\partial t} = \frac{\partial(vA)}{\partial t} = v \frac{\partial A}{\partial t} + A \frac{\partial v}{\partial t}$$

$$\frac{\partial}{\partial x} \left(\frac{Q^2}{A} \right) = \frac{\partial}{\partial x} (v^2 A) = \frac{\partial}{\partial x} (vA \cdot v) = vA \frac{\partial v}{\partial x} + v \frac{\partial(vA)}{\partial x} =$$

$$= vA \frac{\partial v}{\partial x} + v \frac{\partial \theta}{\partial x} \approx vA \frac{\partial v}{\partial x}$$

$$v \frac{\partial A}{\partial t} + A \frac{\partial v}{\partial t} + vA \frac{\partial v}{\partial x} + gA \frac{\partial y}{\partial x} = gA(S_0 - S_f) + q_L v_L$$

$$v q_L + A \frac{\partial v}{\partial t} + vA \frac{\partial v}{\partial x} + gA \frac{\partial y}{\partial x} = gA(S_0 - S_f) + q_L v_L$$

$$A \frac{\partial v}{\partial t} + vA \frac{\partial v}{\partial x} + gA \frac{\partial y}{\partial x} = gA(S_0 - S_f) - q_L(v - v_L)$$

$$\frac{\partial v}{\partial t} + v \frac{\partial v}{\partial x} + g \frac{\partial y}{\partial x} = g(S_0 - S_f) - \frac{q_L}{A}(v - v_L)$$

St. Venant

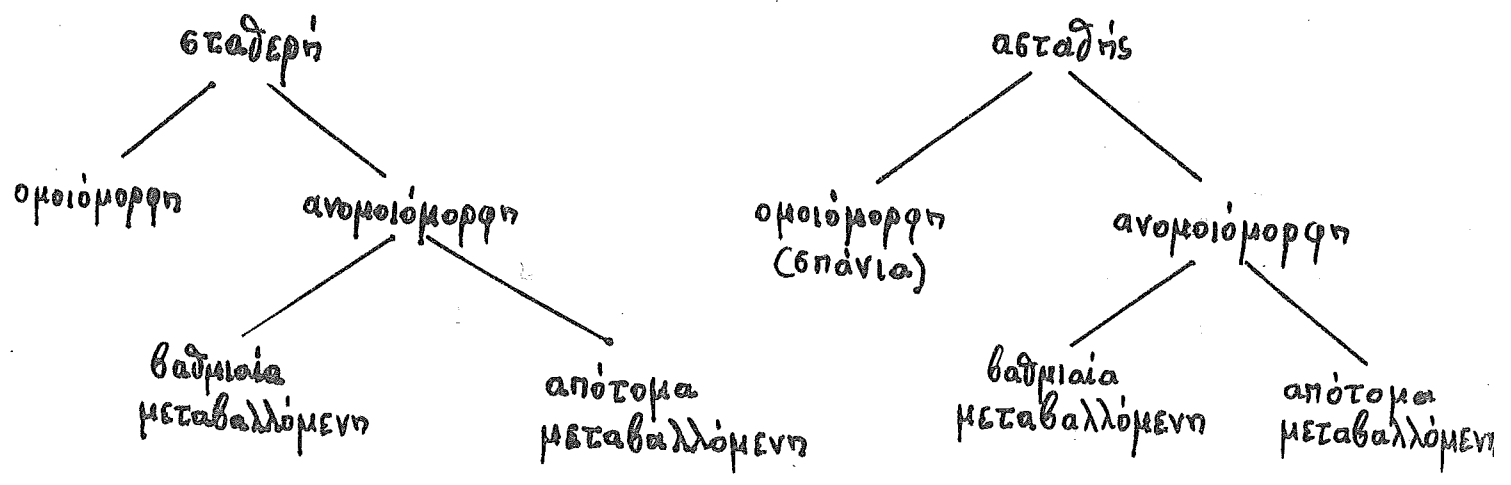
$$\frac{\partial v}{\partial t} + v \frac{\partial v}{\partial x} + g \frac{\partial y}{\partial x} = g(S_0 - S_f)$$

χωρίς πλευρική εισροή ($q_L = 0$)

$$S_f = S_0 - \frac{\partial y}{\partial x} - \frac{v}{g} \frac{\partial v}{\partial x} - \frac{1}{g} \frac{\partial v}{\partial t} \Rightarrow \underline{\text{ασταθής ροή}}$$

$$S_f = S_0 - \frac{\partial y}{\partial x} - \frac{v}{g} \frac{\partial v}{\partial x} \Rightarrow \underline{\text{σταθερή ροή}}$$

Είδη ροής



Ολική ενέργεια

$$S_f = S_0 - \frac{\partial y}{\partial x} - \frac{v}{g} \frac{\partial v}{\partial x} \Rightarrow \underline{\text{Εξίσωση ορμής για σταθερή ροή}}$$

$$S_0 = - \frac{\partial z}{\partial x} \quad z: \text{απόσταση του πυθμένα από οριζόντιο επίπεδο αναφοράς}$$

$S_f = 0 \Rightarrow$ για ροή χωρίς τριβές

$$0 = - \frac{\partial z}{\partial x} - \frac{\partial y}{\partial x} - \frac{v}{g} \frac{\partial v}{\partial x} \Rightarrow 0 = \frac{\partial}{\partial x} \left(z + y + \frac{v^2}{2g} \right)$$

$p = \gamma y$ (υδροστατική κατανομή των πιέσεων)

$$\frac{\partial}{\partial x} \left(z + \frac{p}{\gamma} + \frac{v^2}{2g} \right) = 0$$

$$z + \frac{p}{\gamma} + \frac{v^2}{2g} = H = \text{σταθ.} \Rightarrow \underline{\text{Εξίσωση Βεττουαλλι}}$$

H: ολική ενέργεια ή ολικό φορτίο

(Ενέργεια ανά μονάδα βάρους του υγρού σε μια διατομή ή β' ένα σημείο)

$$\frac{\partial}{\partial x} \left(z + \frac{p}{\gamma} + \frac{v^2}{2g} \right) = \frac{\partial}{\partial x} \left(z + y + \frac{v^2}{2g} \right) = \frac{\partial H}{\partial x} = -S_f$$

(σταθερή ανομοιόμορφη ροή)

ΕΙΔΙΚΗ ΕΝΕΡΓΕΙΑ

- Ενέργεια ανά μονάδα βάρους του υγρού, σε μια διατομή, με επίπεδο αναφοράς τον πυθμένα του αγωγού ($z=0$)

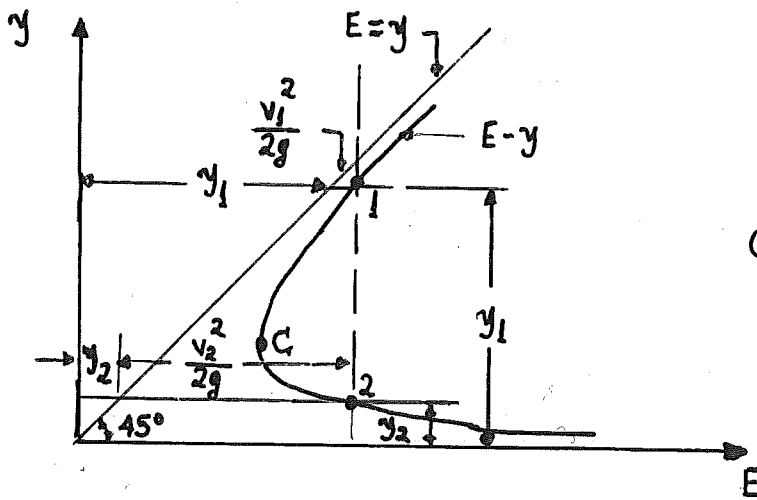
$$E = y + \frac{v^2}{2g} = y + \frac{Q^2}{2gA^2}$$

$$\frac{\partial}{\partial x} \left(z + y + \frac{v^2}{2g} \right) = -S_f = \frac{\partial H}{\partial x}$$

$$\frac{\partial}{\partial x} (z + E) = -S_f \Rightarrow \frac{dE}{dx} + \frac{\partial z}{\partial x} = -S_f \Rightarrow \frac{dE}{dx} - S_0 = -S_f \Rightarrow$$

$\frac{dE}{dx} = S_0 - S_f$

 \Rightarrow Όταν $E = \text{σταθ.}$, τότε $S_0 = S_f \Rightarrow$ ομοιόμορφη ροή



Για $y \rightarrow 0$, $E \rightarrow \infty$, για $y \rightarrow \infty$, $E \rightarrow y \rightarrow \infty$

$E \rightarrow \min$, για $y = y_c$ (κρίσιμο βάθος)

$$\frac{dE}{dy} = 0 \Rightarrow 1 - \frac{Q^2 B}{gA^3} = 0 \Rightarrow \frac{Q^2 B}{gA^3} = 1 \text{ για } y = y_c$$

($dA/dy = B$)

- συζυγή βάθη ροής
- υποκρίσιμη, υπερκρίσιμη, κρίσιμη ροή

$$\frac{Q^2 B}{g A^3} = Fr^2 \Rightarrow \text{αριθμός Froude (Fr)}$$

- $Fr < 1 \Rightarrow$ υποκρίσιμη ροή
- $Fr > 1 \Rightarrow$ υπερκρίσιμη ροή
- $Fr = 1 \Rightarrow$ κρίσιμη ροή

$$\frac{Q^2 B}{g A^3} = 1 \quad \text{για } y = y_c \Rightarrow Q^2 = \frac{g A^3}{B} \Rightarrow Q = \sqrt{\frac{g A^3}{B}} \Rightarrow Q = \sqrt{g} A \sqrt{\frac{A}{B}}$$

$$f_c = A \sqrt{\frac{A}{B}} : \text{συνάρτηση κρίσιμης ροής}$$

$$\frac{Q^2 B}{g A^3} = 1 \quad Q = v A = \frac{1}{n} R^{2/3} S_o^{1/2} A \quad (\text{Manning})$$

$$S_c = \frac{n^2 g}{\left(\frac{B R^{4/3}}{A}\right) y = y_c} \quad S_c : \text{κρίσιμη κλίση}$$

$$f_t = \frac{B R^{4/3}}{A} : \text{συνάρτηση μεταβατικής ροής}$$

y_n : κανονικό βάθος (ομοιόμορφη και σταθερή ροή)

- Όταν $y_n = y_c$, τότε η κλίση του αγωγού λέγεται κρίσιμη κλίση και το αντίστοιχο βάθος ροής μεταβατικό βάθος.

$S_0 < S_c \Rightarrow y_n > y_c \Rightarrow$ ήπια κλίση

$S_0 = S_c \Rightarrow y_n = y_c \Rightarrow$ κρίσιμη κλίση

$S_0 > S_c \Rightarrow y_n < y_c \Rightarrow$ απότομη κλίση

Ορθογωνικοί αγωγοί

$$E = y + \frac{Q^2}{2gA^2}$$

$$A = By$$

$$E = y + \frac{q^2}{2gy^2}$$

$$q = Q/B$$

$$\frac{Q^2 B}{gA^3} = 1$$

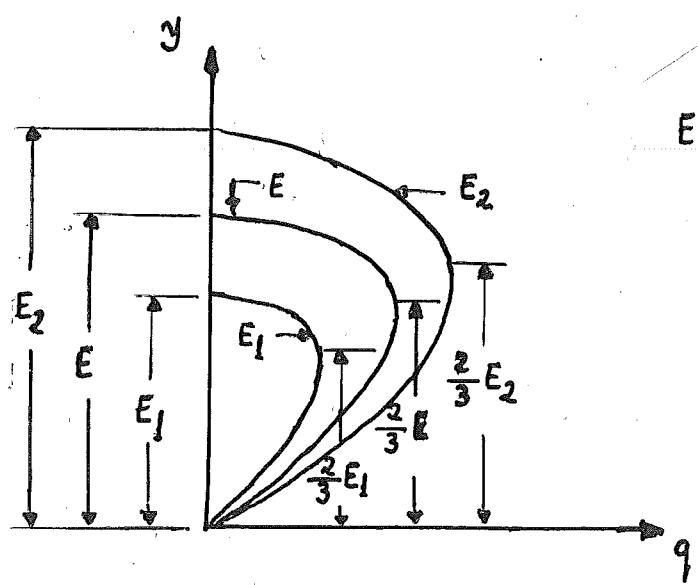
$$Q = qB$$

$$A = By$$

$$y_c = \sqrt[3]{q^2/g}$$

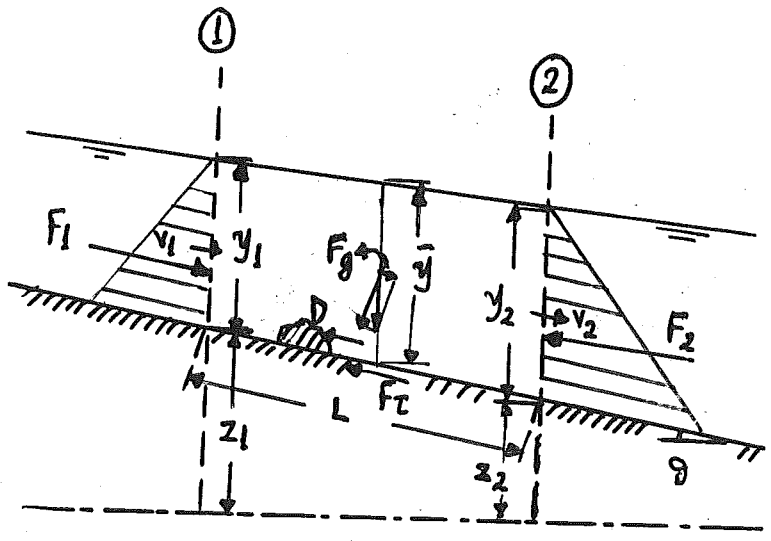
$$E = y_c + \frac{gy_c^3}{2gy_c^2} = y_c + \frac{y_c}{2} = \frac{3}{2}y_c$$

$$y_c = \frac{2}{3}E_c$$



$E = 6ταθ.$

Ειδική δύναμη



Εξίσωση διατήρησης της ορμής: $-F_{\tau} + F_1 - F_2 - D + F_g = \rho Q (v_2 - v_1)$

- F_{τ} : δύναμη τριβών στα τοιχώματα του αγωγού
- F_1 : υδροστατική δύναμη στη διατομή 1 $F_1 = \rho g \bar{y}_1 A_1$
- F_2 : υδροστατική δύναμη στη διατομή 2 $F_2 = \rho g \bar{y}_2 A_2$
- F_g : συνιστώσα του βάρους κατά τη διεύθυνση της ροής
- D : αντίσταση (αντίδραση) του εμποδίου

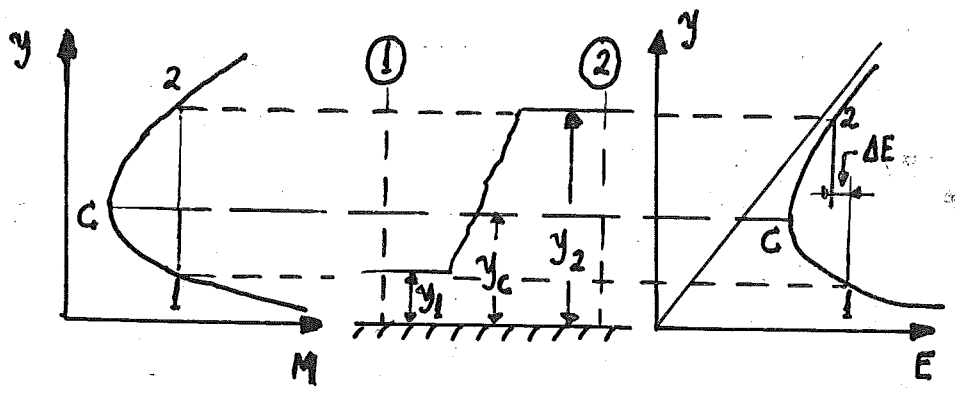
$$\frac{-F_{\tau} + F_g - D}{\rho g} = \left(\frac{Q^2}{gA_2} + A_2 \bar{y}_2 \right) - \left(\frac{Q^2}{gA_1} + A_1 \bar{y}_1 \right) = M_2 - M_1$$

$$M = \frac{Q^2}{gA} + A \bar{y}$$

M : ειδική δύναμη $\left[\frac{\text{δύναμη}}{\text{ειδ. βάρος}} \right]$ ή $[L^3]$

- Όταν δεν υπάρχει εμπόδιο στη ροή, η κλίση του πυθμένα είναι μηδενική και η δύναμη τριβών στα τοιχώματα του αγωγού αμελητέα, τότε $M_2 = M_1$

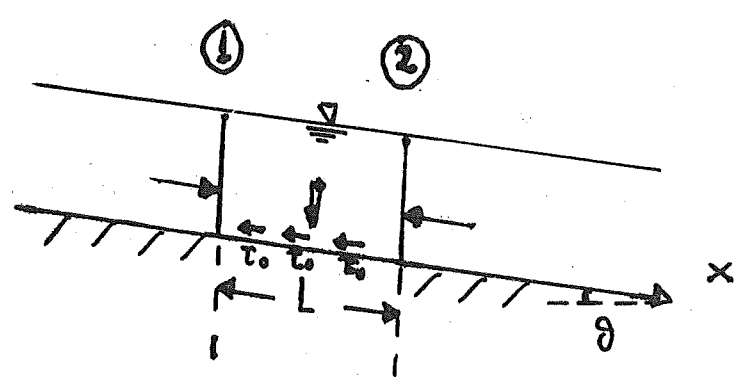
ΣΥΧΕΤΙΣΗ ΕΙΔΙΚΗΣ ΕΝΕΡΓΕΙΑΣ - ΕΙΔΙΚΗΣ ΔΥΝΑΜΗΣ ΣΤΟ ΥΔΡΑΥΛΙΚΟ ΑΛΜΑ



3. ΟΜΟΙΟΜΟΡΦΗ ΡΟΗ

- Κινούσα δύναμη: συνιστώσα της βαρύτητας κατά τη διεύθυνση του άξονα του αγωγού
- Αντίθετες δυνάμεις: τριβές στον πυθμένα και στην ελεύθερη επιφάνεια του νερού με τον αέρα
- Όταν ο αγωγός είναι πρισματικός και αρκούντως μεγάλου μήκους και η παροχή είναι σταθερή, τότε η κινούσα δύναμη εξισορροπείται από τις αντιτάξεις και δεν υπάρχει επιτάχυνση σε καμία διατομή του αγωγού.
- Τα υδραυλικά στοιχεία της ροής (βάθος και μέση ταχύτητα) παραμένουν σταθερά κατά μήκος του αγωγού \Rightarrow ομοιόμορφη ροή, κανονικό βάθος ροής

ΕΞΙΣΩΣΕΙΣ για την ταχύτητα



- Ισορροπία δυνάμεων κατά τον άξονα x
- Οι υδροστατικές δυνάμεις αλληλοαναιρούνται

$$mg \sin \theta = \tau_0 L P \Rightarrow \tau_0 = mg \sin \theta \frac{1}{LP} = mg S_0 \frac{R}{LA} = \frac{m}{LA} g R S_0$$

$\tau_0 = \rho g R S_0$

$$\sin \theta \approx \tan \theta = S_0$$

$\tau_0 = \kappa v^2$ (Διαστατική ανάλυση και πειράματα)

$v = \sqrt{\frac{\rho g}{\kappa}} \sqrt{RS_0} = C \sqrt{RS_0}$

$v = CR^{1/2} S_0^{1/2}$ τύπος Chézy $C: [L^{3/2} T^{-1}]$

$C = \frac{87}{1 + \frac{m}{\sqrt{R}}}$ Bazin $m: \text{συνάρτηση τραχύτητας του αγωγού}$

$v = \frac{1}{n} R^{2/3} S_0^{1/2}$ εμπειρικός τύπος Manning

$n: \text{συντελεστής τραχύτητας Manning } [L^{-1/3} T]$

$Q = \frac{A}{n} R^{2/3} S_0^{1/2}$

$f_n = AR^{2/3}$ $f_n: \text{συνάρτηση αγωγιμότητας}$

$C = \frac{R^{1/6}}{n}$

$\Delta H = \lambda \frac{\Delta x}{D} \frac{v^2}{2g} = \lambda \frac{\Delta x}{4R} \frac{v^2}{2g} \Rightarrow \frac{\Delta H}{\Delta x} = S_0 = \frac{\lambda}{4R} \frac{v^2}{2g}$

$v = \sqrt{\frac{8g}{\lambda}} \sqrt{RS_0}$

$v = \sqrt{\frac{8g}{\lambda}} R^{1/2} S_0^{1/2}$ τύπος Darcy-Weisbach

Αδιαστατοποίηση των παραμέτρων ροής

- Σκοποί της αδιαστατοποίησης:

- (α) Μείωση των μεταβλητών ενός προβλήματος
- (β) Πινακοποίηση του προβλήματος

- Σχεδιασμός ομοιόμορφης ροής:

Δίδεται η παροχή Q , η κλίση του πυθμένα S_0 και ο συντελεστής τραχύτητας n .

Ζητούνται οι διαστάσεις του αγωγού

που εμπεριέχονται στη συνάρτηση αγωγιμότητας $f_n(y) = AR^{2/3}$

- Για τραπεζοειδή διατομή:

$$A = y(b + my) \quad P = b + 2y\sqrt{1 + m^2} \quad R = A/P$$

y : βάθος ροής

b : πλάτος πυθμένα

m : κλίση πρανών

- Η συνάρτηση αγωγιμότητας f_n είναι συνάρτηση των y, b και m , καθώς και $f_n = AR^{2/3}$

- Αδιαστατοποίηση με το πλάτος πυθμένα b_0

- Αντί των τριών μεταβλητών b, y και m , έχουμε δύο, τις $\bar{y} = y/b_0$ και m

- Αδιάστατη συνάρτηση αγωγιμότητας $\bar{f}_n(\bar{y})$

$$\bar{f}_n(\bar{y}) = \bar{A} \bar{R}^{2/3} = \frac{A}{b_0^2} \frac{R^{2/3}}{b_0^{2/3}} = \frac{f_n}{b_0^{8/3}}$$

$$\bar{f}_n = \frac{f_n}{b_0^{8/3}}$$

$$Q = \frac{A}{n} R^{2/3} S_0^{1/2} = AR^{2/3} \frac{S_0^{1/2}}{n} = f_n \frac{\sqrt{S_0}}{n} = b_0^{8/3} f_n \frac{\sqrt{S_0}}{n}$$

$$Q = b_0^{8/3} f_n \frac{\sqrt{S_0}}{n}$$

- Για τον υπολογισμό του Q πινακοποιείται η \bar{f}_n που εξαρτάται από τις μεταβλητές $\bar{y} = y/b_0$ και m

$$\bar{A} = A/b_0^2$$

$$\bar{R} = R/b_0 = \bar{A}/\bar{P}$$

$$\bar{P} = \frac{b_0 + 2y\sqrt{1+m^2}}{b_0} = 1 + 2\bar{y}\sqrt{1+m^2}$$

- Αδιάστατη συνάρτηση κρίσιμης ροής \bar{f}_c

- Συνάρτηση κρίσιμης ροής: $f_c = A\sqrt{A/B}$

$$\bar{f}_c = \frac{A}{b_0^2} \frac{\sqrt{A/B}}{b_0^{1/2}} = \frac{f_c}{b_0^{5/2}}$$

$$\bar{f}_c = \frac{f_c}{b_0^{5/2}}$$

$$Q = A\sqrt{g\frac{A}{B}} = f_c\sqrt{g} = b_0^{5/2}\bar{f}_c\sqrt{g}$$

$$Q = b_0^{5/2}\bar{f}_c\sqrt{g}$$

Αδιάστατη συνάρτηση μεταβατικής ροής \bar{f}_t

- Συνάρτηση μεταβατικής ροής: $f_t = \frac{BR^{4/3}}{A}$

$$f_t = \left(\frac{f_n}{f_c}\right)^2 = \left(\frac{AR^{2/3}}{A\sqrt{A/B}}\right)^2 = \frac{BR^{4/3}}{A}$$

$$\bar{f}_t = \frac{BR^{4/3}/A}{b_0^{-1} b_0^{4/3}} = \frac{f_t}{b_0^{1/3}}$$

$$\bar{f}_t = \frac{f_t}{b_0^{1/3}}$$

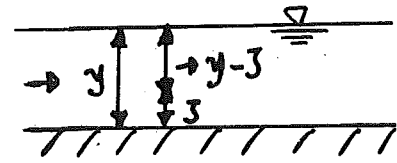
$$S_c = \frac{\frac{\eta^2 g}{BR^{4/3}}}{A} = \frac{\eta^2 g}{f_t} = \frac{\eta^2 g}{\bar{f}_t b_0^{1/3}} = \frac{\eta^2 g}{\bar{f}_t} b_0^{-1/3}$$

$$S_c = \frac{\eta^2 g}{\bar{f}_t} b_0^{-1/3}$$

Συνάρτηση υδροστατικής δύναμης

- Υδροστατική δύναμη F σε μια κατακόρυφη διατομή:

$$F(y) = \gamma \int_0^y (y-z) b(z) dz$$



γ : ειδικό βάρος νερού

- Αδιάστατη υδροστατική δύναμη \bar{F} :

$$\frac{F(y)}{\gamma b_0^3} = \bar{F}(\bar{y}) = \frac{1}{b_0^3} \int_0^y (y-z) b(z) dz = \int_0^{\bar{y}} (\bar{y}-\bar{z}) \bar{b}(\bar{z}) d\bar{z}$$

$$F(y) = \gamma b_0^3 \bar{F}(\bar{y})$$

- Εξίσωση διατήρησης της ορμής:

$$F_1 - F_2 = \rho Q (v_2 - v_1)$$

$$F_1 + \rho Q v_1 = F_2 + \rho Q v_2$$

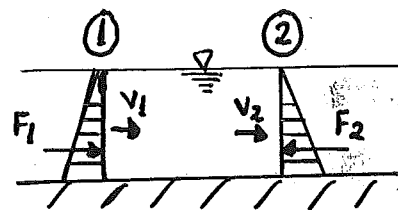
$$F_1 + \frac{\rho Q^2}{A_1} = F_2 + \frac{\rho Q^2}{A_2}$$

$$\frac{F_1}{\gamma b_0^3} + \frac{Q^2}{g A_1 b_0^3} = \frac{F_2}{\gamma b_0^3} + \frac{Q^2}{g A_2 b_0^3}$$

$$A_1 = \bar{A}_1 b_0^2 \quad A_2 = \bar{A}_2 b_0^2$$

$$\bar{F}_1 + \frac{Q^2}{g \bar{A}_1 b_0^5} = \bar{F}_2 + \frac{Q^2}{g \bar{A}_2 b_0^5}$$

συνάρτηση υδροστατικής δύναμης



- Αντιστοιχία με την ειδική δύναμη M:

$$M_1 = M_2 \quad \eta \quad \frac{Q^2}{g A_1} + A_1 \bar{y}_1 = \frac{Q^2}{g A_2} + A_2 \bar{y}_2$$

Υπολογισμός των γεωμετρικών στοιχείων κατασκευής του αγωγού

Κλίση του αγωγού

- Η κλίση του πυθμένα του αγωγού πρέπει να ακολουθεί κατά το δυνατόν την κλίση του φυσικού εδάφους.
- Ο πυθμένας πρέπει να τοποθετείται μέσα στο έδαφος και σε ανάλογο βάθος ώστε να επιτυγχάνεται ισοζύγιο εκκαφών και επιχωματώσεων σε κάθε τμήμα του αγωγού.

Πλάτος πυθμένα, βάθος ροής

- Η οικονομικότερη θεωρητικά διατομή είναι η διατομή σχήματος κανονικού ημιεξαγώνου.
- Στην πράξη προτιμώνται διατομές με μεγαλύτερες τιμές του λόγου b/y_n :
 - Για μικρούς αγωγούς, $b/y_n \approx 1$
 - Για αγωγούς μεσαίου μεγέθους, $b/y_n \approx 1-3$
 - Για μεγάλους αγωγούς, $b/y_n > 3$

Κλίση πρανών

- Πίνακας 3.1

Όρια ταχυτήτων ροής

- Κατά τον προσδιορισμό του λόγου b/y_n πρέπει να προσδιορίζονται τα όρια των ταχυτήτων ροής
- Πίνακας 3.3

Πίνακας 3.1

Στοιχεία σχεδιασμού ανεπένδυτων ανοιχτών αγωγών

α/α	Σύσταση υλικού του πρανούς	Κλίση πρανούς m/l
1	Βράχος	0/1
2	Τυρφώδες έδαφος	0.25/1
3	Σκληρή άργιλλος	0.50/1 - 1/1
4	Γαίες επενδεδυμένες με λίθους για μεγάλους αγωγούς	1/1
5	Συμπαγής άργιλλος	1.50/1
6	Χαλαρό αμμώδες έδαφος	2/1

Πίνακας 3.2

Πάχος επενδύσεως και πλάτος στέψης αναχωμάτων σε αρδευτικές διάρρυγες

ΕΠΕΝΔΥΣΗ ΔΙΩΡΥΓΑΣ				ΑΝΑΧΩΜΑΤΑ ΔΙΩΡΥΓΑΣ	
Απλό σκυρόδεμα		Οπλισμένο σκυρόδεμα			
Παροχή [m ³ /s]	πάχος επένδυσης [cm]	Παροχή [m ³ /s]	πάχος επένδυσης [cm]	Παροχή [m ³ /s]	πλάτος στέψης αναχώματος [cm]
<5	5	<50	10	≤200	50
5 -15	7	50 - 120	12	200-650	70
15 - 40	8		-	650 - 1150	80
40 - 100	9			1150-1650	90
				1650-2150	100
				2150-2800	120
				>2800	180-240

Πίνακας 3.3

Επιτρεπόμενα όρια μεγίστων και ελαχίστων ταχυτήτων και κλίσεις πρανών σε διάφορες περιπτώσεις ανοιχτών αγωγών

ΜΕΓΙΣΤΕΣ ΕΠΙΤΡΕΠΟΜΕΝΕΣ ΤΑΧΥΤΗΤΕΣ			
α/α	Σύσταση αρχικού υλικού κοίτης	Καθαρό νερό [m/s]	Νερό που μεταφέρει άμμο ή χαλίκια [m/s]
1	Λεπτή άμμος	0.45	0.45
2	Ιλυώδες έδαφος	0.60	0.60
3	Συμπαγής άργιλλος	0.75	0.70
4	Πολύ σκληρή άργιλλος	1.80	1.50
5	Λεπτά χαλίκια	0.75	1.15
6	Λίθοι	1.50	2.00
ΕΛΑΧΙΣΤΕΣ ΕΠΙΤΡΕΠΟΜΕΝΕΣ ΤΑΧΥΤΗΤΕΣ			
α/α	Σύσταση νερού	Ταχύτητα ροής [m/s]	
1	Νερά βορβορώδη	0.35-0.40	
2	Νερά που μεταφέρουν λεπτή άμμο	0.60-0.65	
3	Νερά πόσιμα	0.50-0.65	
4	Νερά στάσιμα που αποχετεύονται	0.65-0.80	

Υπολογισμός των υδραυλικών στοιχείων του αγωγού

Συντελεστής τραχύτητας

Ισοδύναμη τραχύτητα για διατομή με διαφορετικές τραχύτητες

$$Q = \sum Q_i \Rightarrow A \frac{1}{n_e} R^{2/3} S_0^{1/2} = \sum A_i \frac{1}{n_i} R_i^{2/3} S_0^{1/2}, \quad A = \sum R_i^2 \quad A_i = R_i^2$$

$$n_e = \frac{R^{5/3}}{\sum \frac{R_i^2}{n_i}}, \quad \text{για } R \approx R_i$$

$$n_e = \frac{R}{\sum \frac{R_i}{n_i}}$$

$$n_e = \left(\frac{\sum R_i^{3/2}}{R} \right)^{2/3}$$

- Η διπλή τραπεζοειδής διατομή διαίρεται σε κατακόρυφες λωρίδες. Η παροχή υπολογίζεται χωριστά σε κάθε λωρίδα.
- Για επενδεδυμένες διώρυγες κατασκευασμένες στο πεδίο:
 $n = 0.014 - 0.016$
- Για προκατασκευασμένες διώρυγες με σχετικά λείες επιφάνειες:
 $n = 0.012$
- Για διώρυγες επενδεδυμένες με ευματοκιβώτια:
 $n = 0.025 - 0.030 \quad (R < 1.5 \text{ m})$
 $n = 0.025 \quad (R > 1.5 \text{ m})$

- Μέγιστη επιτρεπόμενη μέση ταχύτητα: $v_{max} = 2.5 \text{ m/s}$, υπολογισμένη για συντελεστή Manning $n^* = n - 0.003$

Πάχος επένδυσης: συναρτῶνται της παροχής (Πίνακας 3.2)

Περιθώριο ασφαλείας αναχώματος (ϕ)

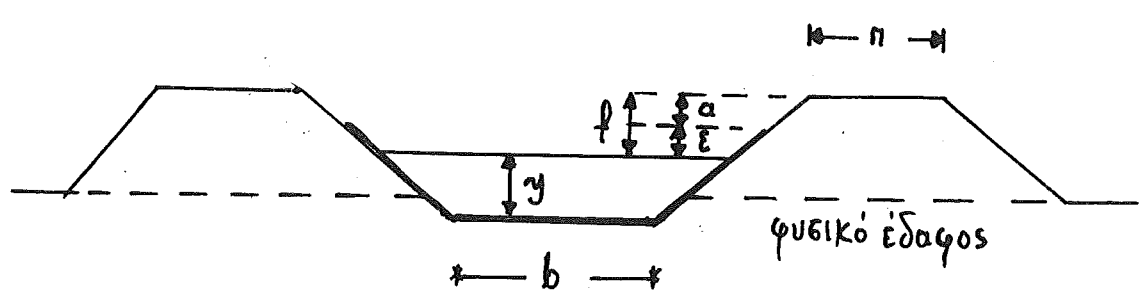
- Κατακόρυφη απόσταση της επιφάνειας του νερού από τη βτέψη του αναχώματος.
- Αποφυγή υπερχειλίσεως του αγωγού λόγω ανεμογενών κυματισμών ή λόγω λειτουργίας θυροφραγμάτων

- Για ανεπένδυτες διώρυγες: $\phi = 0.55 \sqrt{C y}$ U.S. Bureau of Reclamation

ϕ : περιθώριο ασφαλείας [m]

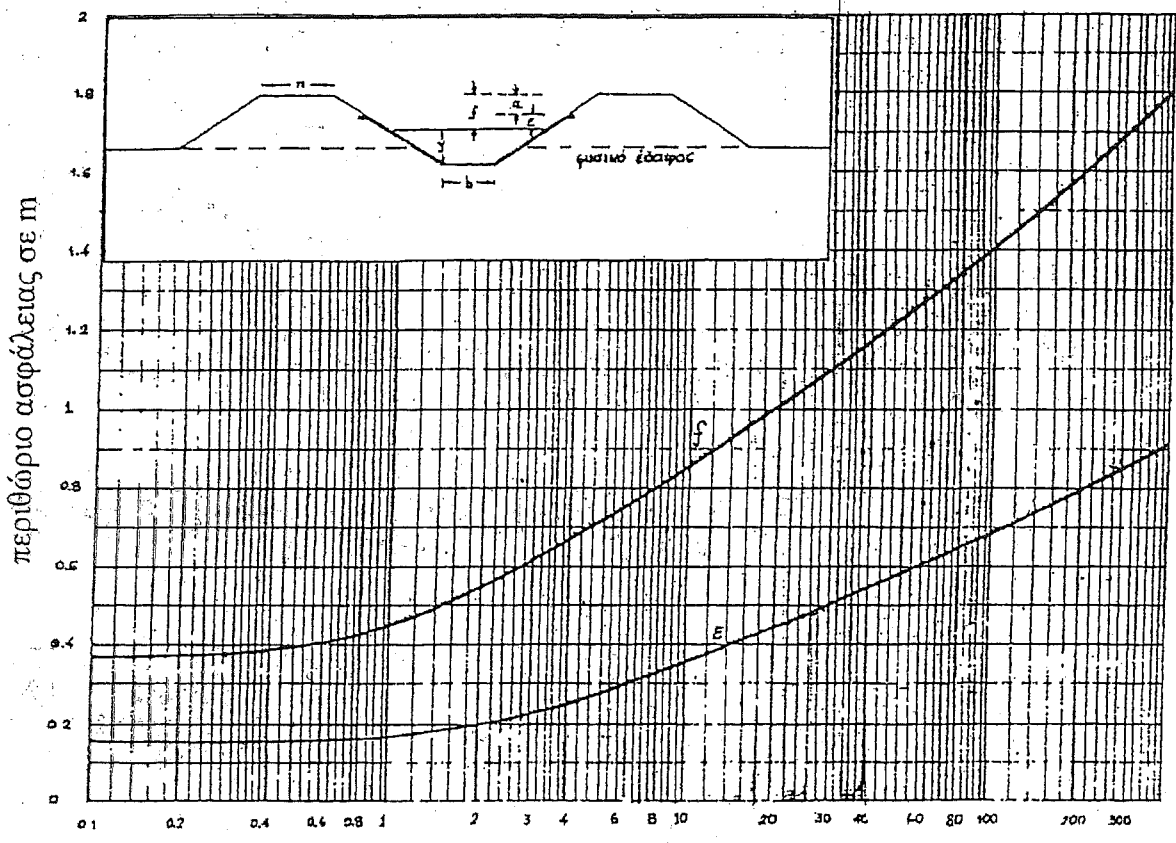
y : βάθος νερού [m]

C : συντελεστής $1.5 < C < 2.5$ για $0.50 < Q < 85 \text{ m}^3/\text{s}$



ϕ : περιθώριο ασφαλείας αναχώματος

ϵ : περιθώριο ασφαλείας επένδυσης



Παροχή [m³/s]

4. ΑΝΟΜΟΙΟΜΟΡΦΗ ΡΟΗ

Βαθμιαία μεταβαλλόμενη ανομοιομορφη ροή

- Βαθμιαία μεταβολή της διατομής ή της κλίσης πυθμένα

$$\frac{dH}{dx} = \frac{\partial}{\partial x} \left(z + y + \frac{v^2}{2g} \right) = -S_f \Rightarrow \frac{\partial}{\partial x} (z + E) = -S_f \Rightarrow$$

$$\boxed{\frac{dE}{dx} = S_0 - S_f}$$

$$\frac{dE}{dx} = S_0 - S_f = \frac{dE}{dy} \frac{dy}{dx} = \left(1 - \frac{Q^2 B}{g A^3} \right) \frac{dy}{dx} = \left(1 - \frac{Q^2}{g A^3} \frac{dA}{dy} \right) \frac{dy}{dx}$$

$$S_0 - S_f = \left(1 - \frac{Q^2 B}{g A^3} \right) \frac{dy}{dx} = (1 - Fr^2) \frac{dy}{dx} \Rightarrow$$

$$\boxed{\frac{dy}{dx} = \frac{S_0 - S_f}{1 - Fr^2}}$$

$$\text{Για } y > y_n \Rightarrow S_0 > S_f$$

$$\text{Για } y < y_n \Rightarrow S_0 < S_f$$

$$\text{Για } y > y_{cr} \Rightarrow Fr < 1$$

$$\text{Για } y < y_{cr} \Rightarrow Fr > 1$$

$$\text{Για } y = y_{cr} \Rightarrow Fr = 1$$

- Κλίση πυθμένα

α) ήπια, όταν $y_n > y_{cr}$

β) απότομη, όταν $y_n < y_{cr}$

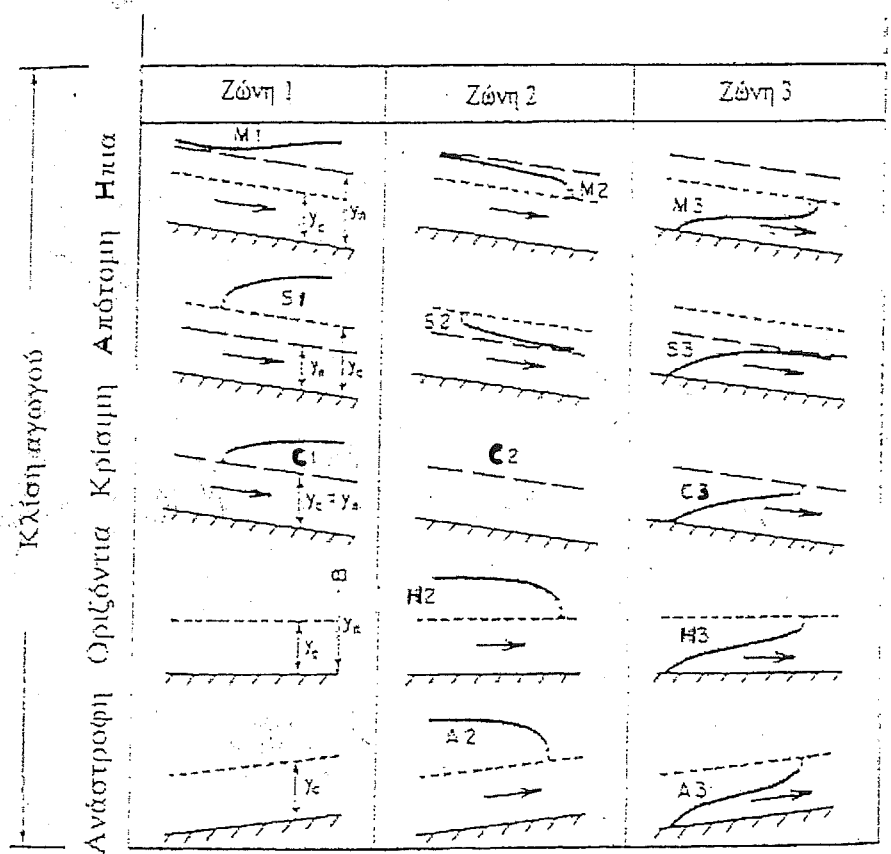
γ) κρίσιμη, όταν $y_n = y_{cr}$

- Κατατομή (προφίλ) της επιφάνειας του νερού

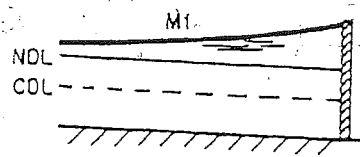
$$1^{\text{η}} \text{ ζώνη: } y > y_n \quad y > y_{cr}$$

$$2^{\text{η}} \text{ ζώνη: } y \geq y_n \quad y \geq y_{cr}$$

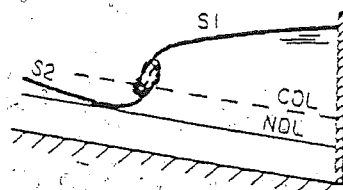
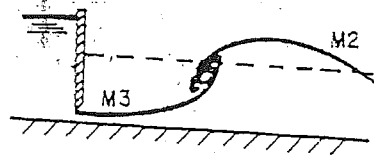
$$3^{\text{η}} \text{ ζώνη: } y < y_n \quad y < y_{cr}$$



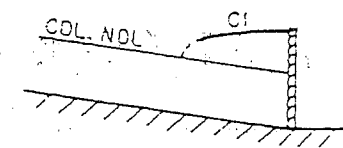
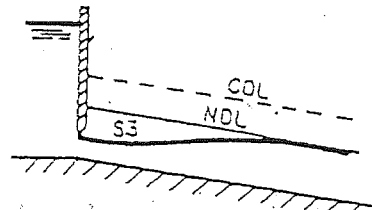
Σχ. 4.1 Διάκριση κατατομών ροής



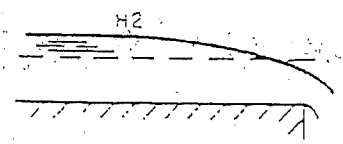
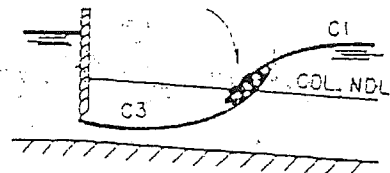
Ηπια κλίση



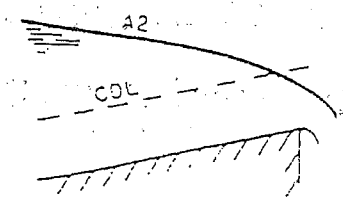
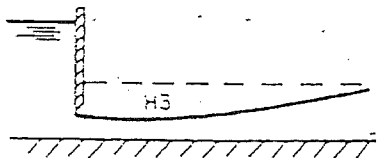
Απότομη κλίση



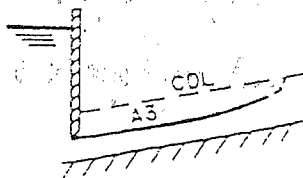
Κρίσιμη κλίση



Οριζόντια κλίση



Ανάστροφη κλίση



Σχ. 4.2 Κατατομές σε πραγματικές περιπτώσεις ροής

Λύσεις της εξίσωσης της ανομοιομορφής ροής

Ρητή επίλυση

$$\frac{dE}{dx} = S_0 - S_p \Rightarrow \frac{\Delta E}{\Delta x} = S_0 - \bar{S}_p \Rightarrow \Delta x = \frac{\Delta E}{S_0 - \bar{S}_p} \Rightarrow$$

$$\Delta x = \frac{E_1 - E_2}{S_0 - \frac{1}{2}(S_{p1} + S_{p2})}$$

(α) Γνωστές τιμές: $y_1, A_1, R_1, v_1, S_{p1}, E_1$

(κεννοείται ότι από το y_1 υπολογίζονται τα $A_1, R_1, v_1, S_{p1}, E_1$)

(β) Ορίζεται μια τιμή y_2

(γ) Υπολογισμοί $y_2 \Rightarrow A_2 \Rightarrow R_2 \Rightarrow v_2 \Rightarrow S_{p2} \Rightarrow \bar{S}_{p1,2} \Rightarrow E_2 \Rightarrow \Delta x_{12} \Rightarrow x_2$

Κατά τη ρητή επίλυση υπολογίζεται το Δx

Μέθοδος σταθερού χωρικού βήματος

$$H_1 = H_2 + \Delta H = H_2 + h_p + \sum h_k$$

h_p : διανεμημένες απώλειες στο διακριτοποιημένο τμήμα Δx

$\sum h_k$: σύνολο συγκεντρωμένων απωλειών στο τμήμα Δx

$$z_2 + y_2 + \frac{Q^2}{2gA_2^2} = z_1 + y_1 + \frac{Q^2}{2gA_1^2} - \bar{S}_f \Delta x - \Sigma h_k$$

- Η ως άνω εξίσωση δεν καταλήγει σε ρητή έκφραση ως προς το y_2 , όταν είναι γνωστό το Δx . Γι' αυτό, επιλύεται με διαδοχικές προεχθίσεις.
- Για τη διευκόλυνση των υπολογισμών γίνεται αδιαστατοποίηση και πινακοποίηση των μεγεθών A, P, R και των εκφράσεων $AR^{2/3}, A\sqrt{A/B}$ σε διάφορους τύπους διατομών.
- Επίλυση της ως άνω εξίσωσης στο EXCEL ή σε μικρούς φορητούς υπολογιστές.

Ταχέως μεταβαλλόμενη ανομοιομορφή ροή

- Απότομες μεταβολές της διατομής
- Ροή πάνω από εκχειλιστές
- Υδραυλικά άλματα
- Διατάξεις καταστροφής ενέργειας
- Διατάξεις αναπηδήσεως
- Εν γένει, όταν οι γραμμές ροής παρουσιάζουν μεγάλη καμπυλότητα, οπότε δεν ισχύει πλέον η υδροστατική κατανομή των πιέσεων, ή στις περιπτώσεις που η επιφάνεια του νερού παρουσιάζει αδυνέχειες.
- Συνήθως φαινόμενα αποκόλλησης - Κατανομή ταχυτήτων απροσδιόριστη
- Δεν ισχύουν οι εξισώσεις της αβαθούς ροής
- Στην ομοιομορφή ροή και στη βαθμιαία μεταβαλλόμενη ανομοιομορφή ροή, οι γραμμές ροής θεωρούνται παράλληλες, οπότε η κατακόρυφη επιτάχυνση της ροής θεωρείται αμελητέα. Ισχύει η θεωρία αβαθούς ροής (shallow water theory)

Υδραυλικό άλμα

- Για ορθογωνική διατομή:

$$E = y + \frac{q^2}{2gy^2} \qquad M = \frac{q^2}{gy} + \frac{y^2}{2}$$

E: ειδική ενέργεια [m]

M: ειδική δύναμη ανά μονάδα πλάτους [m²]

- Για τα συζυγή βάθη ροής y₂, y₃ ισχύει:

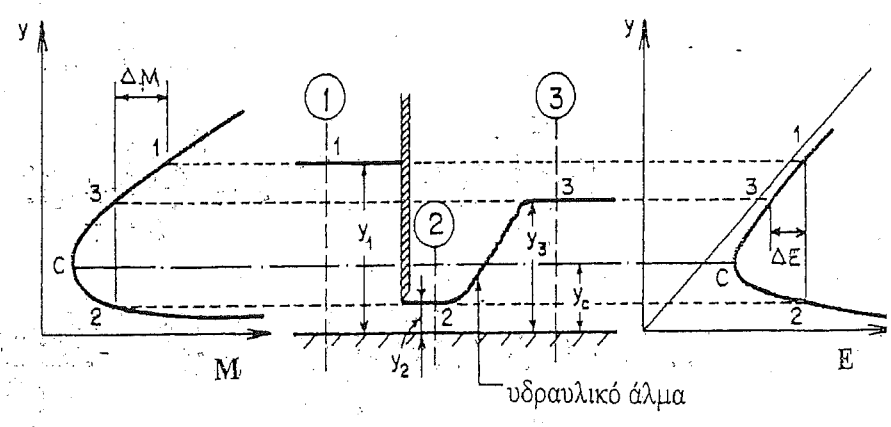
$$y_3 = \frac{y_2}{2} (-1 + \sqrt{1 + 8Fr_2^2})$$

$$Fr_2 = \frac{v_2}{\sqrt{gy_2}} = \frac{q}{\sqrt{gy_2^3}}$$

$$dE = E_2 - E_3$$

dE: ύψος απωλειών ενέργειας στο υδραυλικό άλμα

$$dE = \frac{(y_3 - y_2)^3}{4y_3y_2}$$



Σχ. 4.3 Υδραυλικό άλμα σε ροή κάτω από θυρόφραγμα

$$E_1 = E_2$$

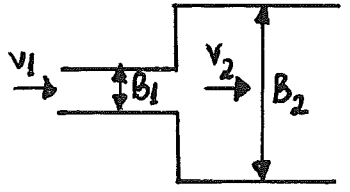
$$\frac{-F}{\rho g} = M_2 - M_1$$

$$M_2 = M_3$$

F: δύναμη ανά μονάδα πλάτους που ασκείται από το θυρόφραγμα στη μάζα του νερού $[\frac{N}{m}]$

Τοπικές απώλειες ενέργειας (ΔH)

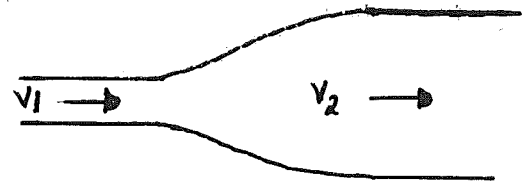
Απότομη διεύρυνση διατομής



$$\Delta H = \frac{v_1^2}{2g} \left[\left(1 - \frac{B_1}{B_2}\right)^2 + 2 Fr^2 (B_2 - B_1) \frac{B_1^3}{B_2^4} \right]$$

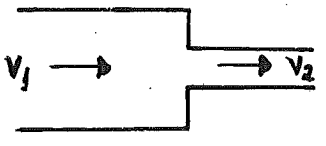
$$\Delta H = \frac{(v_1 - v_2)^2}{2g} \quad \text{για} \quad \frac{B_2}{B_1} > 1.5 \quad \eta \quad Fr < 0.5$$

Βαθμιαία διεύρυνση διατομής



$$\Delta H = 0.3 \frac{(v_1 - v_2)^2}{2g}$$

Απότομη στένωση διατομής



$$\Delta H = 0.23 \frac{v_2^2}{2g}$$

Στένωση χωρίς αποκόλληση της ροής

$$\Delta H = 0.11 \frac{v_2^2}{2g}$$

5. ΕΛΕΓΧΟΣ ΚΑΙ ΜΕΤΡΗΣΗ ΤΗΣ ΡΟΗΣ

Έλεγχος της ροής

- Από το διάγραμμα βάθους- ειδικής παροχής (Σχήμα 2.3) προκύπτει ότι υφίσταται μονοσήμαντη σχέση βάθους-παροχής σε κρίσιμες συνθήκες ροής

- Διατομές ελέγχου: Διατομές όπου επικρατούν κρίσιμες συνθήκες ροής

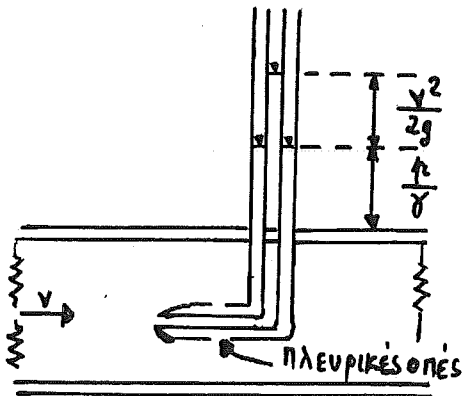
- Διατάξεις ελέγχου: Διατομές όπου επιτυγχάνονται κρίσιμες συνθήκες ροής, π.χ. εκχειλιστές, θυροφράγματα.

Έμμεση μέτρηση της παροχής λόγω της ευκολίας μέτρησης του βάθους ροής.

$$h_c = \sqrt[3]{\frac{q^2}{g}}$$

Μετρήσεις της ταχύτητας

Σωλήνας Pitot



Δh : Διαφορά στάθμης στους δύο σωλήνες

$$\Delta h = h_2 - h_1 = \left(\frac{p}{\rho g} + \frac{v^2}{2g} \right) - \frac{p}{\rho g} = \frac{v^2}{2g}$$

$\frac{v^2}{2g}$: δυναμική πίεση

$$v = \sqrt{2g \Delta h}$$

$$v = c \sqrt{2g \Delta h}$$

c : συντελεστής διορθώσεως (συνάρτηση του σχήματος και της θέσεως των οπών)

- Συνήθως $c = 0.98$
- $c = 1.0$ για σχετικά ομαλή ροή και για $Re \gg 100$ στην περιοχή της οπής

Ρευματοόμετρο (μυλίσκος)

- Συσκευές με κύπελλα ή πτερύγια καταλλήλου αεροδυναμικού σχήματος
- Το σύστημα των κυπέλλων είναι στερεωμένο σ' έναν περιστρεφόμενο άξονα

- Καμπύλη βαθμονόμησης:

$$v = a + b\eta$$

η : αριθμός στροφών

a, b : σταθερές του οργάνου

- Η ταχύτητα είναι ανάλογη της συχνότητας περιστροφής των πτερυγίων

Συσκευή Θερμαινόμενου Εύρηματος (hot wire meter)

- Αύξηση θερμοκρασίας ενός αγωγού που διαρρέεται από ηλεκτρικό ρεύμα
- Ο αγωγός περιβάλλεται από το κινούμενο ρευστό, οπότε μέρος της αναπτυσσόμενης θερμότητας απάχεται από το ρευστό.
- Η ταχύτητα απαγωγής είναι ανάλογη της ταχύτητας του ρευστού
- Βαθμονόμηση της συσκευής

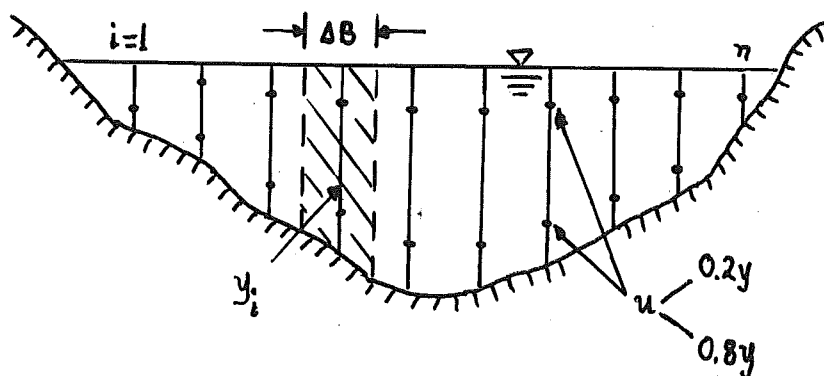
Ακτίνες Laser

- Πλεονέκτημα: Δεν διαταράσσεται η ροή στο σημείο μέτρησης
- Αρχές συμβολής και περίθλασης του φωτός

Μέτρηση παροχής

- Ολοκλήρωση σημειακών ταχυτήτων: $Q = \int \int_A u \, dA$
- Χάραξη ισοταχών σε μία διατομή:
Πολλαπλασιάζεται το εμβαδόν μεταξύ δύο ισοταχών με τη μέση τιμή της ταχύτητας μεταξύ των ισοταχών και προστίθενται τα χιλιόμενα.

Μέτρηση παροχών σε ποτάμια



- Διαίρεται η διατομή σε κατακόρυφες λωρίδες
- Η μέση ταχύτητα κάθε λωρίδας πολλαπλασιάζεται με το εμβαδόν αυτής και προστίθενται τα χιλιόμενα.
- Εκτίμηση μέσης ταχύτητας
 - Μέσος όρος σημειακών ταχυτήτων σε απόσταση $0.2y$ και $0.8y$ από τον πυθμένα (y : βάθος ροής)
 - Σημειακή ταχύτητα σε απόσταση $0.4y$ από τον πυθμένα (για λωρίδες με μικρά βάθη, κάτω του $1m$)

6. ΑΣΤΑΘΗΣ ΡΟΗ ΣΕ ΑΝΟΙΧΤΟΥΣ ΑΓΩΓΟΥΣ

Μονοδιάστατη ασταθής ροή

Εξισώσεις Saint Venant (όπως διαμορφώθηκαν από τον Strelkoff)

$$B \frac{\partial y}{\partial t} + A \frac{\partial v}{\partial x} + vB \frac{\partial y}{\partial x} + v \left(\frac{\partial A}{\partial x} \right) y = q_L \tag{6.1}$$

$$\frac{\partial v}{\partial t} + v \frac{\partial v}{\partial x} + g \frac{\partial y}{\partial x} = g(S_0 - S_f) - \frac{q_L}{A} (v - v_L) \tag{6.2}$$

(αποδείχθηκαν σε προηγούμενο κεφάλαιο)

Χαρακτηριστική μορφή των εξισώσεων Saint Venant

- Ιδιαίτερα χρήσιμη στον υπολογισμό των οριακών συνθηκών

- $c = \sqrt{g \frac{A}{B}}$ c : ταχύτητα διάδοσης μικρών κυματισμών σε αβαθή ροή

- Με διαφορίση της προηγούμενης σχέσης και αντικατάσταση στις Εξισ. (6.1) και (6.2) προκύπτει:

$$\frac{\partial(v \pm 2c)}{\partial t} + (v \pm c) \frac{\partial(v \pm 2c)}{\partial x} = E \tag{6.4}$$

όπου $E = g(S_0 - S_f + D_L) \pm \frac{g}{cB} (q_L - vA \frac{\partial y}{\partial x})$

$$A_x = \left(\frac{\partial A}{\partial x} \right) y$$

$$D_L = - \frac{q_L}{gA} (v - v_L)$$

- Αν τεθεί $\boxed{\frac{dx}{dt} = v \pm c}$ (6.5)

οι Εξισ. (6.4) γράφονται με τη μορφή ολικού διαφορικού

$\boxed{\frac{D}{Dt} (v \pm 2c) = E}$ (6.6)

- Το σύστημα των Εξισ. (6.5) και (6.6) είναι πλήρως ισοδύναμο με το σύστημα των Εξισ. (6.1) και (6.2).

- Ερμηνεία των Εξισ. (6.5) και (6.6)

Για κάθε σημείο που κινείται μέσω του ρευστού με ταχύτητες $v \pm c$ πάνω στις χαρακτηριστικές καμπύλες που ορίζονται από τις εξισώσεις

$$\frac{dx}{dt} = v + c$$

$$\frac{dx}{dt} = v - c$$

ισχύουν αντίστοιχα οι εξισώσεις

$$\frac{D(v+c)}{Dt} = E$$

$$\frac{D(v-c)}{Dt} = E$$

Απλοποιημένη μορφή των εξισώσεων Saint Venant

Λύση μηδενικής αδράνειας

- Εξίσ. (6.1), (6.2): πλήρεις υδροδυναμικές εξισώσεις

- Εξίσ. (6.2): $\frac{\partial v}{\partial t} + v \frac{\partial v}{\partial x} = \frac{Dv}{Dt} \Rightarrow$ ολική παράγωγος της ταχύτητας
 ως προς το χρόνο \Rightarrow
 επιτάχυνση του ρευστού \Rightarrow
 δύναμη αδράνειας ανά μονάδα μάζας
 του ρευστού

- Εξίσ. (6.2): εξίσωση διατήρησης της ορμής

Εάν παραλειφθούν οι δυνάμεις αδράνειας και οι όροι μεταβολής της ορμής λόγω πλευρικών εισροών-εκροών, η Εξίσ. (6.2) γίνεται:

$$\boxed{\frac{\partial y}{\partial x} = S_0 - S_f}$$

(6.10)

- Εξίσωση συνέχειας (6.1) και Εξίσ. (6.10): απλοποιημένο σύστημα διαφορικών εξισώσεων

- Ενδείκνυνται σε προβλήματα διάδοσης πλημμυρών σε πεδινά τμήματα ποταμών και σε προβλήματα επιφανειακής άρδευσης.

Λύση κινηματικού κύματος

- Για ομοιόμορφη ροή, όταν δηλ. $\frac{\partial y}{\partial x} = 0$, η Εξίσ. (6.10) γίνεται:

$$S_0 = S_f$$

(6.11)

- Από τον τύπο Manning

$$S_f = \frac{n^2 Q^2}{A^2 R^{4/3}}$$

(6.12)

- Εξίσ. (6.1) και Εξίσ. (6.11): απλοποιημένο σύστημα διαφορικών εξισώσεων
- Ενδείκνυται σε προβλήματα διάδοσης ήπιων πλημμυρών σε πεδινά υδατορρέυματα ή γενικότερα σε προβλήματα διάδοσης πλημμυρών σε διεδιάστατο χώρο.

Π1. ΥΠΟΛΟΓΙΣΜΟΣ ΔΙΩΡΥΓΑΣ ΠΡΟΣΑΓΩΓΗΣ ΑΡΔΕΥΤΙΚΟΥ ΔΙΚΤΥΟΥ
Δεδομένα

Μία προσαγωγός αρδευτική διώρυγα ξεκινάει από μια δεξαμενή νερού (σημείο Α, χ.θ. 0+000) και μετά από σχετικά ευθύγραμμη διαδρομή καταλήγει στο σημείο Δ (χ.θ. 2+200), κεφαλή του αρδευτικού δικτύου, όπου διακλαδίζεται σε διώρυγες κατωτέρας τάξεως.

- Τραπεζοειδής διατομή, επενδεδυμένη με σκυρόδεμα, κλίση πρανών $m = 1.5$
- Πλάτος στέψεως αναχωμάτων της διώρυγας: 3.0 m
- Παροχή υπολογισμού της διώρυγας $Q = 30.5 \text{ m}^3/\text{s}$
- Συντελεστής Manning $n = 0.014$
- Μήκος τομή του εδάφους από διατομή Α μέχρι Δ: Πίνακας Π1.1

Ζητούμενο α

- Υδραυλικός υπολογισμός της διώρυγας υπό συνθήκες ομοιόμορφης ροής
 - α1. Προσδιορισμός κλίσης S_0 του πυθμένα
 - α2. Διαστασιολόγηση διατομής: επιλογή πλάτους b της διώρυγας και προσδιορισμός του κανονικού βάθους ροής y_n
 - α3. Προσδιορισμός κρίσιμου βάθους ροής και κρίσιμης κλίσης για τη δεδομένη παροχή
 - α4. Προσδιορισμός παροχής για την οποία το S_0 γίνεται S_c
 - α5. καθ' ύψος τοποθέτηση του πυθμένα της διώρυγας
- Χωριστοί υπολογισμοί για τα τμήματα ΑΒ και ΓΔ, λόγω της απότομης μεταβολής του υψομέτρου μεταξύ των διατομών Β και Γ

Υδραυλικός υπολογισμός τμήματος AB

α1. Προσδιορισμός κλίσης S_0 του πυθμένα

- Μέθοδος ελαχίστων τετραγώνων

x	0	200	500	700	1000	1150	[m]
y	21.00	21.60	21.20	20.60	20.80	20.40	[m]

- Εξίσωση μέσης ευθείας εδάφους (ευθείας παλινδρόμησης):

$$y = a + \beta x$$

$$\beta = \frac{\sum x_i y_i - n \bar{x} \bar{y}}{\sum x_i^2 - n \bar{x}^2}$$

$$a = \bar{y} - \beta \bar{x}$$

- $n = 6$ $\bar{x} = 591.67 \text{ m}$ $\bar{y} = 20.93 \text{ m}$

$$\sum x_i^2 = 3102500 \quad \sum x_i y_i = 73600$$

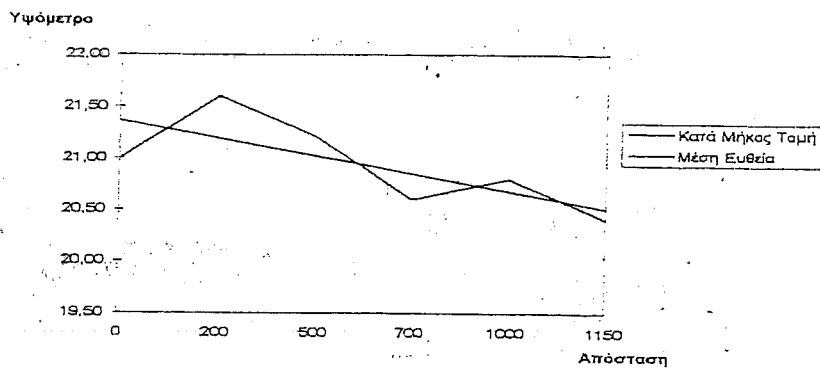
- $\beta = -0.0007$ $a = 21.3545$

- $y = 21.3545 - 0.0007x$ (Σχήμα Π1.1)

Πίνακας Π1.1

Στοιχεία κατά μήκος τομής του εδάφους από τη διατομή Α μέχρι Δ

α/α	Διατομή	Χ.Θ.	Υψόμ. εδάφους
1	A	0+00	21.00
2		0+200	21.60
3		0+500	21.20
4		0+700	20.60
5		1+00	20.80
6	B	1+150	20.40
7	Γ	1+250	17.50
8		1+400	17.40
9		1+700	17.80
10		2+00	17.20
11	Δ	2+200	17.40



α2. Διαστασιολόγηση διατομής

$$Q = b^{8/3} \bar{f}_n \frac{\sqrt{S_0}}{n} \text{ (αποδείχθηκε)} \Rightarrow \bar{f}_n = \frac{Q}{b^{8/3} S_0^{1/2}}$$

$$\bar{f}_n (\bar{y}_n) = \frac{16.139}{b^{8/3}} \quad \bar{f}_n : \text{αδιάστατη συνάρτηση αγωγιμότητας}$$

Πίνακας Π1.2: - Για διάφορες τιμές του b υπολογίζονται τα υδραυλικά στοιχεία της ροής.

- Τιμές του \bar{y}_n από το \bar{f}_n με τη βοήθεια του Πίνακα Π3.1 (Παράρτημα)

- Επειδή η παροχή είναι σχετικά μεγάλη $\Rightarrow \frac{b}{y_n} > 3$

- Επιλέχεται $b = 5.5 \text{ m}, y_n = 1.75 \text{ m}$

α3. Προσδιορισμός κρίσιμου βάθους και κρίσιμης κλίσης

Κρίσιμο βάθος

$$Q = b^{5/2} \bar{f}_c \sqrt{g} \text{ (αποδείχθηκε)} \Rightarrow \bar{f}_c = \frac{Q}{b^{5/2} \sqrt{g}}$$

\bar{f}_c : αδιάστατη συνάρτηση κρίσιμης ροής.

$$\bar{f}_c = \frac{Q \sqrt{a}}{b^{5/2} \sqrt{g \cos \theta}}$$

a: συντελεστής Coriolis, $a = 1.0, \cos \theta \approx 1.0$

$$f_c(\bar{y}_c) = 0.1373$$

Από τον Πίνακα Π3.1 (Παράρτημα) $\Rightarrow \bar{y}_c = 0.235$

$$y_c = \bar{y}_c \times b = 0.2350 \times 5.5 = 1.293 \text{ m}$$

$y_n = 1.75 \text{ m}$ $y_c < y_n \Rightarrow$ υποκρίσιμη ροή

- U.S. Bureau of Reclamation: Πρέπει $y_c < y'_n$, όπου y'_n το βάθος ομοιόμορφης ροής που προκύπτει για συντελεστή Manning $n' = n - 0.003$ (για μεγαλύτερη ασφάλεια)

$$n' = 0.014 - 0.003 = 0.011$$

$$f_n(\bar{y}'_n) = \frac{n' Q}{b^{8/3} S_o^{1/2}} = 0.1345$$

Από τον Πίνακα Π3.1 $\Rightarrow \bar{y}'_n = 0.279$

$$y'_n = \bar{y}'_n \times b = 0.279 \times 5.5 = 1.535 \text{ m}$$

$y_c < y'_n \Rightarrow$ υποκρίσιμη ροή

Κρίσιμη κλίση

$$S_c = \frac{n^2 g}{\bar{f}_t b^{1/3}} \text{ (αποδείχθηκε)} \Rightarrow \boxed{\bar{f}_t = \frac{n^2 g}{S_c b^{1/3}}}$$

\bar{f}_t : αδιάστατη συνάρτηση μεταβατικής ροής

$$\bar{f}_t(\bar{y}_t) = \frac{n^2 g \cos \theta}{S_c b^{1/3} a}$$

$$y_t = y_c = 1.293 \text{ m} \Rightarrow \bar{y}_t = \frac{1.293}{5.5} = 0.235$$

Από τον Πίνακα Π3.1, για $\bar{y}_t = 0.235 \Rightarrow \bar{f}_t = 0.5133$

$$\frac{n^2 g}{S_c b^{1/3}} = 0.5133 \Rightarrow S_c = 0.0021$$

α4. Προσδιορισμός παροχής για την οποία $S_0 = S_c = 0.0007$

$$\bar{f}_t = \frac{n^2 g}{S_c b^{1/3}}, \text{ για } S_c = 0.0007 \Rightarrow \bar{f}_t(\bar{y}_t) = 1.5561$$

- Επειδή η τιμή $\bar{f}_t = 1.5561$ είναι μεγαλύτερη της μέγιστης τιμής των πινάκων, το \bar{y}_t θα υπολογιστεί προσεγγιστικά:

$$\bar{f}_t = \frac{\bar{B} \bar{R}^{4/3}}{\bar{A}}, \quad \bar{B} = \frac{B}{b} = 1 + 2m\bar{y}, \quad \bar{A} = \frac{A}{b^2} = (1 + m\bar{y})\bar{y}$$

$$\bar{P} = \frac{P}{b} = 1 + 2\bar{y}\sqrt{1 + m^2}, \quad \bar{R} = \frac{\bar{A}}{\bar{P}}$$

- Στον Πίνακα Π1.3, για διάφορες τιμές του \bar{y} βρίσκεται το $\bar{f}_t(y_t)$

- Για $\bar{f}_t = 1.5560 \Rightarrow \bar{y}_t = 15.17 \Rightarrow y_t = 83.44 \text{ m}$

- Για $y_c = y_t = 83.44 \text{ m} \Rightarrow f_c = A \sqrt{\frac{A}{B}} = 10902.27 \sqrt{\frac{10902.27}{255.82}} = 71171.83$

$$Q = f_c \sqrt{g} = 71171.83 \times \sqrt{9.81} = 222917 \text{ m}^3/\text{s}$$

- Η τιμή του Q και του y_t (ή y_c) είναι εἰληπραγματική και συνεπώς η ροή ουδέποτε γίνεται κρίσιμη στο θεωρούμενο αγωγό.

Πίνακας Π1.2
Υπολογισμός των διαστάσεων του τμήματος A - B

b [m]	\bar{f}_n	\bar{y}_n	y_n [m]	A [m ²]	B [m]	P [m]	V [m/s]	b/ y_n
2.0	2.5417	1.2154	2.431	13.725	9.29	10.76	2.222	0.823
2.5	1.4019	0.9229	2.307	13.753	9.42	10.82	2.218	1.084
3.0	0.8621	0.7312	2.194	13.799	9.58	10.91	2.210	1.368
3.5	0.5715	0.5970	2.090	13.862	9.77	11.03	2.200	1.675
4.0	0.4003	0.4985	1.994	13.940	9.98	11.19	2.188	2.006
4.5	0.2924	0.4236	1.906	14.028	10.22	11.37	2.174	2.361
5.0	0.2208	0.3652	1.826	14.131	10.48	11.58	2.158	2.738
5.5	0.1712	0.3187	1.753	14.249	10.76	11.82	2.140	3.138
6.0	0.1358	0.2809	1.685	14.373	11.06	12.08	2.122	3,560

Πίνακας Π1.3
Μέθοδος των διαδοχικών προσεγγίσεων

\bar{y}	\bar{B}	\bar{A}	\bar{P}	\bar{R}	$\bar{f}_i(\bar{y}_i)$
10.00	31.000	160.0000	37.0560	4.3178	1.3623
11.00	34.000	192.5000	40.6616	4.7342	1.4040
12.00	37.000	228.0000	44.2672	5.1505	1.4435
13.00	40.000	266.5000	47.8728	5.5668	1.4808
14.00	43.000	308.0000	51.4784	5.9831	1.5164
15.00	46.000	352.5000	55.0840	6.3993	1.5504
15.50	47.500	375.8750	56.8868	6.6074	1.5668
15.25	46.750	364.0938	55.9854	6.5034	1.5587
15.20	46.600	361.7600	55.8051	6.4826	1.5570
15.18	46.540	360.8286	55.7330	6.4742	1.5564
15.17	46.510	360.3634	55.6970	6.4701	1,5560

α5. Καθ' ύψος τοποθέτηση του πυθμένα της διώρυγας

- Χρησιμοποιούμενο κριτήριο: Ισοζύγιο εκκαφών (εκχωμάτων) και επιχωμάτων

- Από το Σχήμα 3.3, για $Q = 30.5 \text{ m}^3/\text{s} \Rightarrow$

$$e \text{ (περίθωριο επένδυσης)} = 49 \text{ cm}$$

$$a \text{ (περίθωριο τοιχώματος)} = 61 \text{ cm}$$

$$f = a + e = 61 + 49 = 110 \text{ cm} = 1.10 \text{ m} \quad (\text{Σχήμα Π1.2})$$

- Από τον Πίνακα 3.2, για $15 < Q < 40 \text{ m}^3/\text{s} \Rightarrow$

$$\delta \text{ (πάχος επένδυσης)} = 0.08 \text{ m} \quad (\text{Σχήμα Π1.2})$$

- Πλάτος εκκαφής: $b_c = b + 2\epsilon$ (Σχήμα Π1.2)

$$\epsilon = \frac{\delta}{m + \sqrt{1 + m^2}} \quad \epsilon = 2.42 \text{ cm} = 0.0242 \text{ m}$$

$$b_c = 5.5 + (2 \times 0.0242) = 5.548 \text{ m}$$

- X : βάθος εκκαφής

Y : απόσταση μεταξύ πυθμένα εκκαφής και βέψης αναχωμάτων

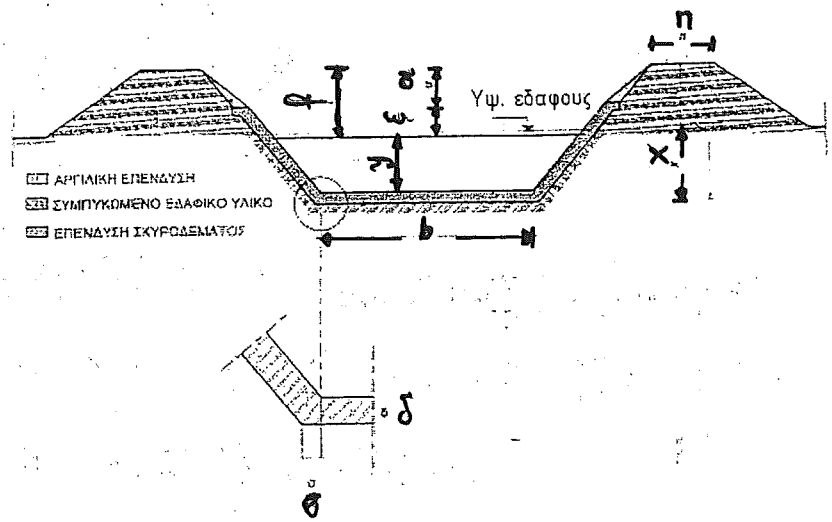
$$Y = \delta + y_n + f$$

$$h \text{ (ύψος αναχωμάτων)} = Y - X = (\delta + y_n + f) - X$$

- E_k (εμβαδόν εκκαφής) = $(b_c + mX) X$

- E_n (εμβαδόν επίχωσης) = $2 [\pi + m(Y - X)] (Y - X)$

π : πλάτος βέψης αναχώματος (Σχήμα Π1.2)



Σχήμα Π1.2. Τυπική διατομή της αρδευτικής διάωρυγας

- Ισοζύγιο εκκαφών και επιχωμάτων: $E_k = E_n$

$$b_c X + m X^2 - 2[n + mY - mX](Y - X) = 0$$

$$mX^2 - (b_c + 4mY + 2n)X + 2Y(n + mY) = 0$$

$$\boxed{AX^2 - BX + \Gamma = 0}$$

$$A = m = 1.5$$

$$B = b_c + 4mY + 2n = 5.548 + (4 \times 1.5 \times 2.93) + (2 \times 3.0) = 29.128$$

$$\Gamma = 2Y(n + mY) = 2 \times 2.93 \times [3.0 + (1.5 \times 2.93)] = 43.3347$$

$$Y = \delta + y_n + f = 0.08 + 1.75 + 1.10 = 2.93 \text{ m}$$

$$X_1 = 17.7952 \text{ m} \quad X_2 = 1.6235 \text{ m}$$

Το X_1 απορρίπτεται

X_2 : μέσο βάθος εκκαφής

- Εξίσωση του ηυθμένα εκκαφής: Προκύπτει αγ από την εξίσωση της μέγης ευθείας του εδάφους αφαιρεθεί η ποσότητα $X = 1.6235 \text{ m}$.

Εξίσωση μέγης ευθείας εδάφους:

$$y = 21.3545 - 0.0007 x$$

$$y = 19.731 - 0.0007 x$$

- Για τον υπολογισμό του βάθους εκκαφής κάθε διατομής αφαιρείται από το υψόμετρο του φυσικού εδάφους το υψόμετρο του ηυθμένα εκκαφής (Πίνακας Π1.4).

Πίνακας Π1.4
Βάθος εκσκαφής σε κάθε διατομή

Διατομή	1	2	3	4	5	6
Απόσταση (m)	0	200	500	700	1000	1150
Υψόμ. Φυσ. Εδάφ.	21.000	21.600	21.200	20.600	20.800	20,400
Υψόμ. Πυθμ. εκσκ.	19.731	19.591	19.381	19.241	19.031	18.926
Βάθος εκσκαφής	1.269	2.009	1.819	1.359	1.769	1.474

Πίνακας Π1.5
Προμέτρηση χωματουργικών για μέσο βάθος εκσκαφής X = 1.6235 m

ΔΙΑΤΟΜΗ		ΕΚΣΚΑΦΕΣ		ΕΠΙΧΩΣΕΙΣ		Αλγεβρικό άθροισμα
a/a	X.Θ	Βάθος εκσκαφής X	Όγκος V	Υψος επιχώμ. Y	Όγκος V	
1	0+000	1.27		1.66		0
2	0+200	2.01	2666	0.92	2631	34
3	0+500	1.82	4838	1.11	2766	2107
4	0+700	1.36	2537	1.57	2720	1923
5	1+000	1.36	3723	1.57	4176	1923
5	1+000	1.77	1946	1.16	1958	1470
6	1+150	1.47		1.46		1458
ΑΘΡΟΙΣΜΑ			15709		14251	

Πίνακας Π1.6
Προμέτρηση χωματουργικών για τελικό βάθος εκσκαφής X = 1.5535 m

ΔΙΑΤΟΜΗ		ΕΚΣΚΑΦΕΣ		ΕΠΙΧΩΣΕΙΣ		Αλγεβρικό άθροισμα
a/a	X.Θ	Βάθος εκσκαφής X	Όγκος V	Υψος επιχώμ. Y	Όγκος V	
1	0+000	1.20		1.73		0
2	0+200	1.94	2534	0.99	2812	-278
3	0+500	1.94	4624	1.18	3003	1343
4	0+700	1.75	2405	1.18	2901	1343
4	0+700	1.29	3527	1.64	4450	847
5	1+000	1.70	1836	1.23	2109	-76
6	1+150	1.40		1.53		-350
ΑΘΡΟΙΣΜΑ			14925		15275	

- Υπολογισμός όγκου εκκαφών και επιχώσεων για τα βάθη εκκαφής του Πίνακα Π1.4 \Rightarrow Πίνακας Π1.5

Για την εύρεση του όγκου εκκαφής μεταξύ δύο διαδοχικών διατομών 1 και 2, υπολογίζεται το ημιάθροισμα των εμβαδών των τραπεζίων 1 και 2 και πολλαπλασιάζεται με την απόσταση (200 m) των διατομών 1 και 2.

Κατ' ανάλογο τρόπο υπολογίζεται ο όγκος επιχώσεων μεταξύ δύο διαδοχικών διατομών. Δηλ. θεωρούνται οι τραπεζοειδείς διατομές των επιχώσεων εκατέρωθεν της διατομής του ανοικτού αγωγού.

- Σύμφωνα με τον Πίνακα Π1.5, προκύπτει περίσσειμα εκκαφών ίσο προς 1458 m³. Γι' αυτό, πρέπει να μειωθεί το βάθος εκκαφής προς όφελος της οικονομίας της κατασκευής.
- Παρακάτω θα υπολογιστεί πόσο μειώνεται η διαφορά μεταξύ εκκαφών και επιχωμάτων για μείωση του βάθους εκκαφής κατά 1 cm.

$$E_k = (b_c + mX)X \quad (\text{αποδείχτηκε})$$

$$\frac{dE_k}{dX} = b_c + 2mX \Rightarrow \Delta E_k = (b_c + 2mX) \Delta X$$

$$\Delta E_k = [5.548 + (2 \times 1.5 \times 1.6235)] \Delta X = 10.4 \Delta X$$

$$\text{Για } \Delta X = 1 \text{ cm} = 0.01 \text{ m} \Rightarrow \Delta E_k = 0.104 \text{ m}^2$$

$$\Delta V_k \text{ (μείωση όγκου εκκαφών)} = 0.104 \times 1150 \approx 120 \text{ m}^3$$

(1150 m: μήκος τμήματος AB)

$$\Delta V_{\eta} \text{ (μείωση όγκου επιχωμάτων)} = 120 \text{ m}^3$$

- Τελικά, για μείωση του βάθους εκκαφής κατά 1 cm, η διαφορά μεταξύ εκκαφών και επιχώσεων μειώνεται κατά 240 m^3 (120 + 120).
- Εάν μειωθούν τα βάθη εκκαφής όλων των διατομών κατά 7 cm, επιτυγχάνεται καλύτερο ισοδύγλο μεταξύ εκκαφών και επιχωμάτων (Πίνακας Π1.6). Υπάρχει περίσσειμα επιχωμάτων ίσο προς 350 m^3 .

Υδραυλικός υπολογισμός τμήματος ΓΔα1. Προσδιορισμός κλίσης S_0 του πυθμένα

- Όπως για το τμήμα AB

$$\text{Εξίσωση μέσης ευθείας του εδάφους: } y = 17.7522 - 0.00017x$$

$$S_0 = 0.00017$$

α2. Διαστασιολόγηση διατομής

- Όπως για το τμήμα AB

$$b = 7.0 \text{ m} \quad y_n = 2.31 \text{ m}$$

α3. Προσδιορισμός κρίσιμου βάθους και κρίσιμης κλίσηςΚρίσιμο βάθος

- Όπως για το τμήμα AB

$$y_c = 1.14 \text{ m}$$

Κρίσιμη κλίση

- Όπως για το τμήμα AB

$$S_c = 0.0021$$

α4. Προσδιορισμός της παροχής για την οποία $S_0 = S_c = 0.0021$

- Όπως για το τμήμα AB

- Η ροή ουδέποτε γίνεται κρίσιμη στο θεωρούμενο αγωγό

a5. Καθ' ύψος τοποθέτηση του ηυθμένα της δλώρυχας

- Όπως για το τμήμα AB
- Επιπλέον, πρέπει να ικανοποιείται η εξής προυπόθεση (δεδομένο του παραδείχματος):

Η ελάχιστη στάθμη νερού στο σημείο Δ πρέπει να είναι +50 cm από την επιφάνεια του εδάφους, ήτοι:

$$H_{\Delta \text{ min}} = \text{υψόμετρο εδάφους} + 0.50 \text{ m} = 17.40 + 0.50 = 17.90 \text{ m}$$

- Επειδή η παροχή ($Q = 30.5 \text{ m}^3/\text{s}$) δεν αλλάζει:

$$\left. \begin{array}{l} \epsilon \text{ (περιθώριο επένδυσης)} = 49 \text{ cm} \\ \alpha \text{ (περιθώριο τοιχώματος)} = 61 \text{ cm} \end{array} \right\} f = \alpha + \epsilon = 1.10 \text{ m}$$

$$\delta \text{ (πάχος επένδυσης)} = 0.08 \text{ m}$$

$$\sigma = 0.0242 \text{ m}$$

- Πλάτος εκκαφής: $b_c = b + 2\sigma = 7.0 + (2 \times 0.0242) = 7.0484 \text{ m}$

- Μέσο βάθος εκκαφής: $X = 1.8407 \text{ m}$

- Εξίσωση του ηυθμένα εκκαφής: $y = 15.9115 - 0.00017x$

- Βάθη εκκαφής: Πίνακας Π1.8 (για κάθε διατομή)

- Έλλειμμα εκκαφών ίσο προς 5258 m^3 (Πίνακας Π1.9)

- Πρέπει να αυξηθεί το βάθος εκκαφής

- Για αύξηση του βάθους εκκαφής κατά 1 cm, η διαφορά μεταξύ εκκαφών και επιχώσεων μειώνεται κατά 248 m^3

Πίνακας Π1.8
Βάθος εκσκαφής σε κάθε διατομή

Διατομή	7	8	9	10	11
Απόσταση (m)	0	150	450	750	950
Υψόμ Φυζ. Εδάφ.	17.500	17.400	17.800	17.200	17.400
Υψόμ πυθμ. Εκσκ.	15.912	15.886	15.835	15.784	15.750
Βάθος εκσκαφής	1.589	1.514	1.965	1.416	1.650

Πίνακας Π1.9
Προμέτρηση χωματουργικών για μέσο βάθος εκσκαφής $X = 1.8407$ m.

ΔΙΑΤΟΜΗ		ΕΚΣΚΑΦΕΣ		ΕΠΙΧΩΣΕΙΣ		Αλγεβρικό άθροισμα
α/α	X.Θ	Βάθος εκσκαφής X	Όγκος V	Υψος επιχώμ. X_h	Όγκος V	
7	1+250	1.589		1.901		0
			2182		3436	
8	1+400	1.514		1.976		-1254
			5063		5954	
9	1+700	1.965		1.525		-2146
			4894		6221	
10	2+000	1.416		2.074		-3473
			2870		4655	
11	2+200	1.650		1.840		-5258
ΑΘΡΟΙΣΜΑ			15009		20267	

Πίνακας Π1.10
Προμέτρηση χωματουργικών εργασιών για το τμήμα Γ-Δ

ΔΙΑΤΟΜΗ		ΕΚΣΚΑΦΕΣ		ΕΠΙΧΩΣΕΙΣ		Αλγεβρικό άθροισμα
α/α	X.Θ	Βάθος εκσκαφής X	Όγκος V	Υψος επιχώμ. X_h	Όγκος V	
7	1+250	1.77		1.72		0
			2512		2966	
8	1+400	1.70		1.79		-454
			5761		5067	
9	1+700	2.15		1.34		239
			5581		5322	
10	2+000	1.60		1.89		498
			3329		3997	
11	2+200	1.85		1.64		-170
ΑΘΡΟΙΣΜΑ			17182		17352	

- Εάν αυξηθούν τα βάθη εκκαφής όλων των διατομών κατά 20cm, επιτυγχάνεται καλύτερο ισοζύγιο μεταξύ εκκαφών και επιχώσεων (Πίνακας Π1.10)
- Από τον Πίνακα Π1.10 ⇒ Βάθος εκκαφής στη θέση Δ (διατομή II): 1.85 m

Υψόμετρο της στάθμης του νερού στη θέση Δ =
 = (υψόμετρο εδάφους) - (βάθος εκκαφής) + (πάχος σκυροδέματος) +
 + (βάθος ροής) =
 17.40 - 1.85 + 0.08 + 2.31 = 17.94 m

Άρα ικανοποιείται η προϋπόθεση για την ελάχιστη απαιτούμενη στάθμη νερού στη θέση Δ.

Ζητούμενο β

- Υδραυλικός υπολογισμός τμήματος ΒΓ (αναβαθμός)

Υπολογισμός υδραυλικού άλματος (Σχήμα Π1.4)

- Το υδραυλικό άλμα λαμβάνει χώρα σε ορθογωνική διατομή
Από διατομή 1 μέχρι διατομή 4: ορθογωνική κατασκευή.
- Από διατομή 0 έως διατομή 1 } μεταβατικά τμήματα με αναλογία
" " 4 " " 5 } προσαρμογής 1:5 (για τη μετάβαση
από την τραπεζοειδή διατομή της
διώρυγας στην ορθογωνική διατομή
του αναβαθμού)

Υπολογισμός του πλάτους της λεκάνης ηρεμίας (b)

- Εμπειρικός τύπος: $b = \frac{1}{5} Q = \frac{1}{5} \times 30.5 = 6.1 \text{ m}$
- Προτείνεται αυξημένο πλάτος $b = 7 \text{ m}$
- Παροχή ανά μονάδα πλάτους: $q = \frac{Q}{b} = \frac{30.5}{7} = 4.36 \frac{\text{m}^3}{\text{s} \cdot \text{m}}$

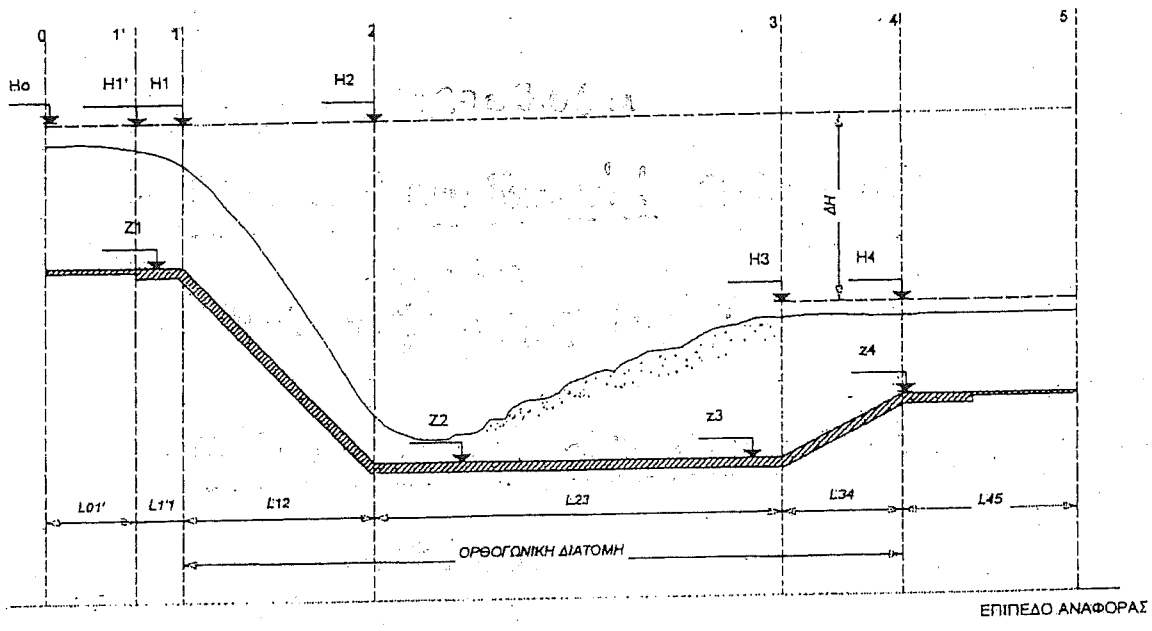
Υπολογισμός στοιχείων του υδραυλικού άλματος

- Ύψος ολικής ενέργειας στη θέση 0:

$$H_0 = z_0 + y_0 + \frac{v_{AB}^2}{2g} = (20.40 - 1.40) + 1.75 + \frac{3.17^2}{2 \times 9.81} = 21.26 \text{ m}$$

20.40 m : υψόμετρο φυσικού εδάφους

1.40 m : βάθος εκκαφής



Σχήμα Π1.4. Ενδεικτική κατά μήκος τομή της Διώρυγας στη θέση του αναβαθμού

- Υψος ολικής ενέργειας στη θέση 4:

$$H_4 = z_4 + y_4 + \frac{v_4^2}{2g} = (17.50 - 1.79) + 2.31 + \frac{1.89^2}{2 \times 9.81} = 18.20 \text{ m}$$

- Παραδοχή: $H_0 \approx H_1 \approx H_2$ και $H_3 \approx H_4$

- Υψος απωλειών ενέργειας μεταξύ των διατομών 2 και 3:

$$\Delta H = 21.26 - 18.20 = 3.06 \text{ m}$$

- Βάθος νερού στη διατομή 1 (κρίσιμο βάθος)

$$y_1 = y_c = \sqrt[3]{\frac{q^2}{g}} = \sqrt[3]{\frac{4.36^2}{9.81}} = 1.25 \text{ m}$$

- Βάθη ροής ανάντη και κατάντη του υδραυλικού άλματος (y_2, y_3)

- Χρήση Πίνακα Π3.2

$$n = \frac{\Delta H}{y_c} = \frac{3.06}{1.25} = 2.45$$

$$- \frac{y_2}{y_c} = 0.333 \Rightarrow y_2 = 0.333 \times 1.25 = 0.42 \text{ m}$$

$$- \frac{y_3}{y_2} = 6.87 \Rightarrow y_3 = 6.87 \times 0.42 = 2.88 \text{ m}$$

- Υπολογισμός υψομέτρου του πυθμένα της λεκάνης ηρεμίας (z_2, z_3)

$$H_3 = z_3 + y_3 + \frac{v_3^2}{2g} \Rightarrow z_3 = H_3 - y_3 - \frac{v_3^2}{2g}$$

$$H_3 = 18.20 \text{ m} \quad y_3 = 2.88 \text{ m} \quad \frac{v_3^2}{2g} = \frac{Q^2}{2g b^2 y_3^2} = \frac{30.5^2}{2 \times 9.81 \times 7.0^2 \times 2.88^2} = 0.12 \text{ m}$$

$$z_3 = 18.20 - 2.88 - 0.12 = 15.2 \text{ m} \quad z_2 = z_3 = 15.2 \text{ m}$$

Υπολογισμός μήκους του αναβάθμου

- Εμπειρικός τύπος για το μήκος του υδραυλικού άλματος:

$$L_j \approx 6.0 y_3 = 6.0 \times 2.88 = 17.28 \text{ m}$$

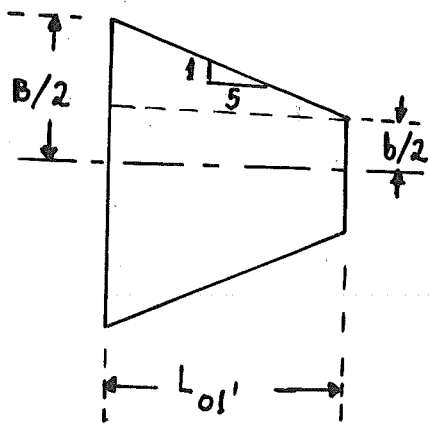
- Για λόγους ασφαλείας $L_{23} \approx 1.1 L_j = 1.1 \times 17.28 = 19.01 \text{ m}$

L_{23} : μήκος λεκάνης πρεμίας

Υπολογισμός άλλων χαρακτηριστικών μηκών

- Μήκος $L_{1'}$ από σπλισμένο σκυρόδεμα, καθόσον το κρίσιμο βάθος δεν εμφανίζεται στη θέση 1, αλλά λίγο πιο ανάντη

$$L_{1'} = \frac{1}{10} L_{23} = \frac{1}{10} \times 19.01 = 1.90 \text{ m} \quad (\text{εμπειρικός τύπος})$$



αναλογία προσαρμογής 1:5

$$\frac{L_{01'}}{5} = \frac{\frac{B-b}{2}}{1} \Rightarrow L_{01'} = 2.5(B-b)$$

$$L_{01'} = 2.5(B_{AB} - b_{αναβ.}) = 2.5(10.76 - 7.0) = 9.4 \text{ m}$$

$$\Delta z_{1-2} = z_1 - z_2 = (20.40 - 1.40) - 15.2 = 3.8 \text{ m}$$

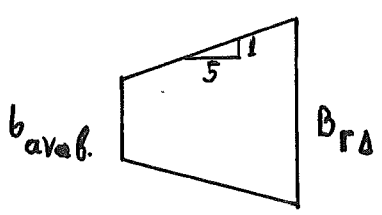
κλίση τμήματος 1-2: 1:1.5 (δεδομένο)

$$L_{12} = 1.5 \times \Delta z_{1-2} = 1.5 \times 3.8 = 5.7 \text{ m}$$

$$\Delta z_{3-4} = z_4 - z_3 = (17.50 - 1.79) - 15.2 = 0.51 \text{ m}$$

κλίση τμήματος 3-4: 1:6 (δεδομένο)

$$L_{3-4} = 6.0 \times \Delta z_{3-4} = 6.0 \times 0.51 = 3.06 \text{ m}$$



$$L_{45} = 2.5 (B_{\Gamma\Delta} - b_{\text{αναβ.}}) = 2.5 (13.93 - 7.0) = 17.33 \text{ m}$$

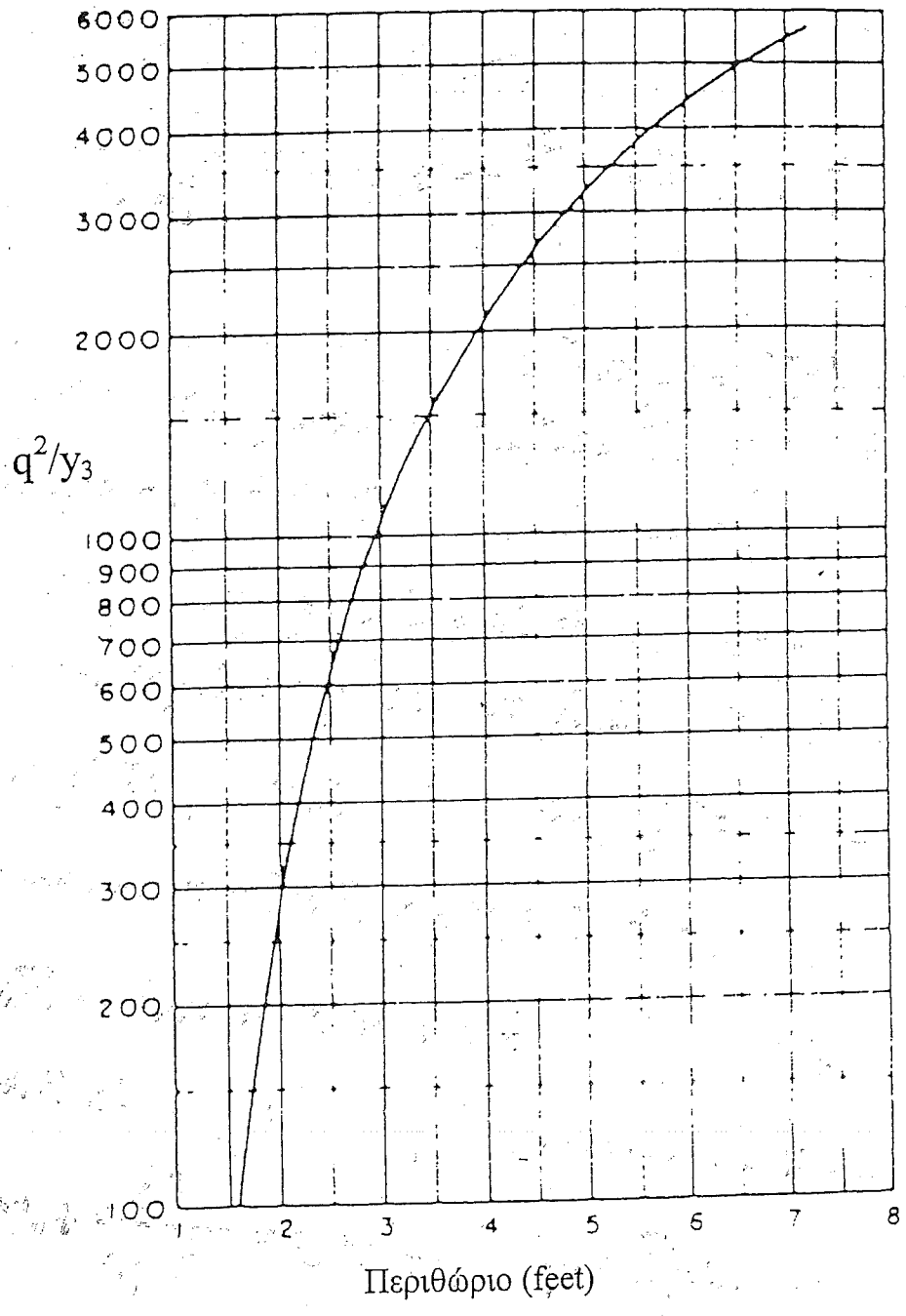
Υπολογισμός ελεύθερου περιθωρίου της λεκάνης ηρεμίας

(freeboard in stilling pool)

- Διάγραμμα Π3.1, $1 \text{ m} = 3.28 \text{ ft} \Rightarrow 1 \text{ m}^3 = 3.28^3 \text{ ft}^3 = 35.3 \text{ ft}^3$

$$\frac{q^2}{\gamma_3} = \frac{4.36^2}{2.88} \frac{(3.28^2)^2}{3.28} = 232.92 \frac{\text{ft}^3}{\text{sec}^2}$$

- Από το διάγραμμα Π3.1 \Rightarrow περιθώριο ασφαλείας $f = 1.8 \text{ ft} = 0.55 \text{ m}$



Σχήμα Π3.1 Διάγραμμα υπολογισμού του περιθωρίου Λεκάνης καταστροφής ενέργειας

Ζητούμενο γ

- Υδραυλικός υπολογισμός τμήματος AB για ανομοιόμορφη ροή

Εφαρμογή της γενικής εξίσωσης διατήρησης της ενέργειας

$$z_1 + y_1 + \frac{Q^2}{2g A_1^2} = z_2 + y_2 + \frac{Q^2}{2g A_2^2} + \bar{S}_f \Delta x + \Sigma h_k$$

- Οι υπολογισμοί αρχίζουν από τη διατομή I (Σχήμα Π1.4) και κατευθύνονται προς τα ανάντη. Στη διατομή I υπάρχει κρίσιμο βάθος, το οποίο υπολογίστηκε προηγουμένως, $y_c = 1.25m$.
- Η δεύτερη θεωρούμενη διατομή είναι η διατομή O (Σχήμα Π1.4), η οποία συμπίπτει με τη διατομή B (Πίνακας Π1.1).
- Διατομή I: ορθογωνική Διατομή O: τραπεζοειδής
- Η απόσταση των δύο διατομών υπολογίστηκε ίση προς $9.40 + 1.90 = 11.30m$
- Επειδή οι διατομές O και I απέχουν μικρή απόσταση μεταξύ τους, οι απώλειες ενέργειας θεωρούνται αμελητέες και $z_o = z_c$.

$$z_o + y_o + \frac{Q^2}{2g A_o^2} = z_c + y_c + \frac{Q^2}{2g A_c^2} + \bar{S}_f \Delta x \Rightarrow$$

$$y_o + \frac{Q^2}{2g A_o^2} = y_c + \frac{Q^2}{2g A_c^2} \Rightarrow \text{προβεχθελτική επίλυση ως προς } y_o$$

- Οι υπολογισμοί συνεχίζονται σε όλη την έκταση B-A με αυξανόμενο χωρικό βήμα Δx προς τα ανάντη (βλ. Πίνακα Π1.11).

Ζητούμενο δ

- Υδραυλικός υπολογισμός υδροληψίας (Σχήμα Π1.7)
- Γνωστά μεγέθη:
 - Παροχή $Q = 30.5 \text{ m}^3/\text{s}$
 - Βάθος ροής $y_4 = 1.746 \text{ m}$ (από τον υπολογισμό της ανομοιομορφής ροής)
 - Πλάτος $b = 6.1 \text{ m}$ και $q = Q/b = 30.5/6.1 = 5 \frac{\text{m}^3}{\text{s} \cdot \text{m}}$ (όπως στον αναβαθμό)
 - Ορίζονται ανυψώματα $w = 1.60 \text{ m}$, $\Delta z = 0.70 \text{ m}$, $C_c = 0.60$ (Σχήμα Π1.7)
- Υπολογισμός χαρακτηριστικών βαθών ροής

- y_3 (αμέσως κατάντη του υδραυλικού άλματος) = $y_4 + \Delta z =$
 $= 1.746 + 0.70 = 2.446 \text{ m}$

- y_2 (αμέσως ανάντη του υδραυλικού άλματος) = $C_c w = 0.60 \times 1.60 =$
 $= 0.96 \text{ m}$

- y (βάθος στην κατάντη πλευρά του θυροφράγματος, βυθισμένη εκροή)

$$\frac{y}{y_3} = \left[1 - \frac{2q^2}{gy_3^3} \left(\frac{y_3}{y_2} - 1 \right) \right]^{1/2} \Rightarrow y = 1.66 \text{ m}$$

- y_1 (βάθος νερού στη δεξαμενή τροφοδοσίας)

Εξίσωση ενέργειας μεταξύ των διατομών 1 και 2, αμελητέες απώλειες ενέργειας:

$$y_1 + \frac{q^2}{2gy_1^2} = y_2 + \frac{q^2}{2gy_2^2} \Rightarrow \text{τριτοβάθμια εξίσωση}$$

$y_1 = -0.59 \text{ m}$ (απορρίπτεται ως αρνητική)

$y_1 = 0.74 \text{ m}$ (απορρίπτεται γιατί πρέπει $y_1 > w = 1.60 \text{ m}$)

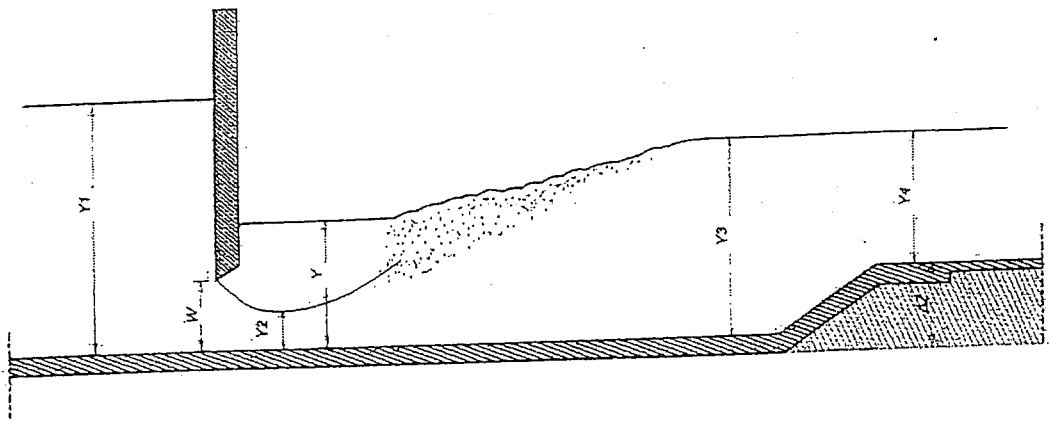
$y_1 = 2.90 \text{ m}$ (δεκτή λύση)

- Μήκος υδραυλικού άλματος

$$L_j = 6.0 \times y_3 = 6.0 \times 2.446 = 14.68 \text{ m} \quad (\text{εμπειρικός τύπος})$$

- Για λόγους ασφαλείας αυξάνεται το μήκος κατά 10%, οπότε

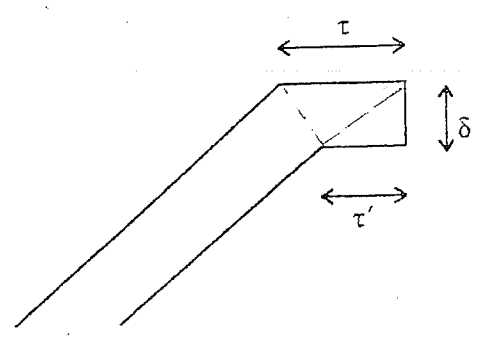
$$L = 1.1 \times L_j = 1.1 \times 14.68 \approx 17.0 \text{ m}$$



Σχήμα Π1.7. Ενδεικτική κατά μήκος τομή της Διώρυγας στη θέση της υδροληψίας

Πίνακας Π1.15
Συγκεντρωτικός Πίνακας χωματουργικών εργασιών

Τμήμα	Εκσκαφές (m ³)	Επιχώσεις (m ³)	Διαφορά (m ³)
A - B	14.925	15.275	-350
Γ - Δ	17.182	17.352	-170
Σύνολο	32.107	32.627	-520



Σχήμα Π1.8. Λεπτομέρεια της διατομής της διώρυγας

Ζητούμενο ε

- Προμέτρηση υλικών και εργασιών

Υπολογισμός χωματουργικών εργασιών

- Πίνακας Π1.15
- Έλλειμμα εκκαψών 160 προς 520 m³, για όλη τη διώρυγα εκτός του αναβαθμού

Υπολογισμός άοπλου σκυροδέματος

- Υπολογισμός μήκους επενδύσεως για τη διατομή του τμήματος AB και χωρίστια για τη διατομή του τμήματος ΓΔ
- Μήκος επενδύσεως: θεωρείται μία μέση γραμμή (Σχήμα Π1.8)

$$L_{επ} = b + 2\sqrt{1+m^2} (y_n + E) + 6 + 0.5 (\tau + \tau')$$

$$\tau = \delta \sqrt{1+m^2} = 0.08 \sqrt{1+1.5^2} = 0.1442 \text{ m}$$

$$\tau' = m\delta = 1.5 \times 0.08 = 0.12 \text{ m}$$

$$L_{επ} \text{ (για το τμήμα AB)} = 5.5 + 2\sqrt{1+1.5^2} (1.75 + 0.49) + 0.0242 + 0.5 (0.1442 + 0.12) = 13.73 \text{ m}$$

$$L_{επ} \text{ (για το τμήμα ΓΔ)} = 7.0 + 2\sqrt{1+1.5^2} (2.31 + 0.49) + 0.0242 + 0.5 (0.1442 + 0.12) = 17.25 \text{ m}$$

- Όγκος εκυροδέματος: $V = L_{επ} \times \delta \times S$

δ : πάχος επένδυσης

S : μήκος διώρυγας

V (για το τμήμα AB) = $13.73 \times 0.08 \times 1150 = 1263.16 \text{ m}^3$

V (για το τμήμα ΓΔ) = $17.25 \times 0.08 \times 950 = 1311 \text{ m}^3$

$V_{εκυροδ. (συνολικός)}$ = $1263.16 + 1311 = 2574.16 \approx 2574 \text{ m}^3$